

# 「すばく」衛星による地球外圏からの 電荷交換X線放射の系統探査

---

石川 久美

2013年6月19日

# 本日のお話

## **1. Introduction**

2. 解析手順

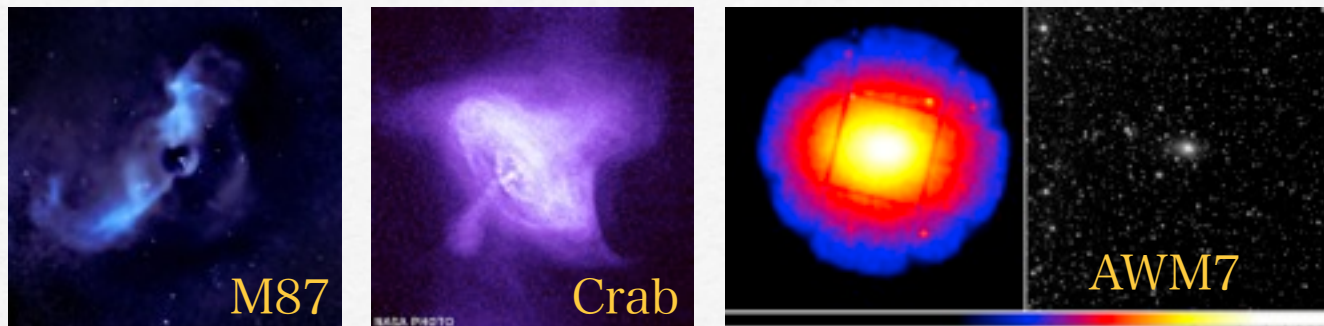
3. 結果

4. 考察

5. まとめ

# 宇宙からのX線放射

- 1960年代：本格的なX線宇宙観測スタート



強重力・磁場、超高温：  
普通じゃない環境からX線発生

ブラックホール、中性子星、  
超新星残骸、銀河団、などから発見

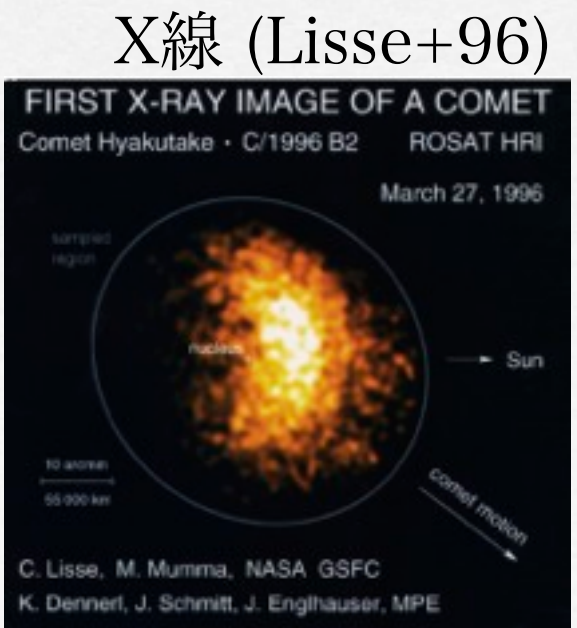
しかし！

- 1996年：冷たいガスから熱い発見

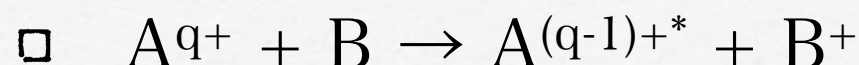
- 百武彗星からX線 (独 ROSAT衛星)

→ 高温ガスも磁場もなしでX線が？

- 新しいX線放射メカニズム  
→ 電荷交換反応によるX線放射



# 電荷交換反応 (CX : Charge eXchange)



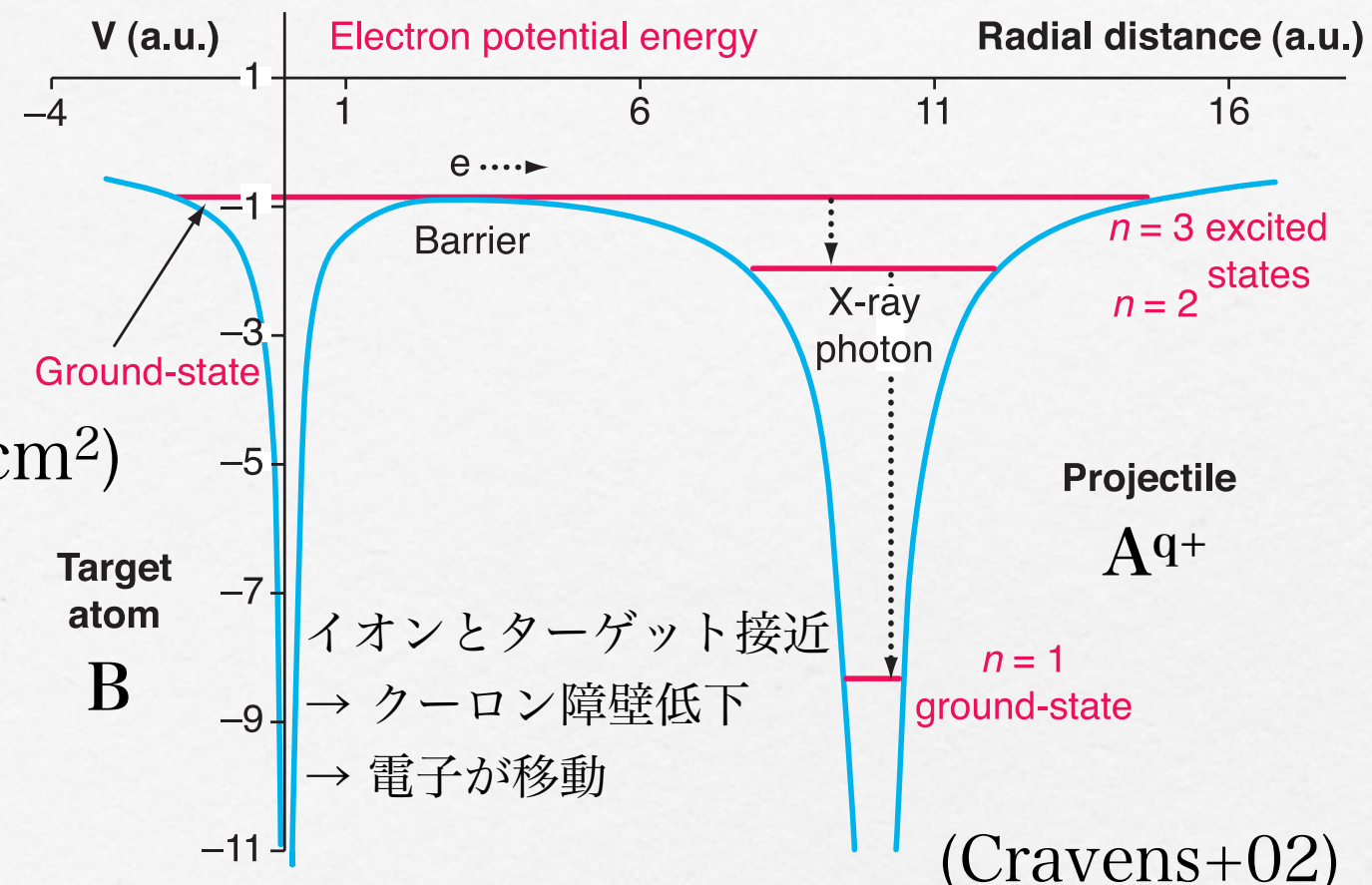
□ 特徴

- 散乱断面積が大きい ( $\sim 10^{-15} \text{ cm}^2$ )  
→ 希薄なガスで起きる

- イオンが太陽風起源  
→ SWCX (Solar Wind CX)

- 太陽系内：太陽風 + 希薄な大気 → X線  
例) 彗星コマ、惑星の最外層大気（外圏）など

- 地球外圏 SWCX 放射に注目



# 地球外圏での SWCX 1(地球物理、惑星プラズマ)

- 1990年：月のX線イメージ + 彗星X線の発見から期待

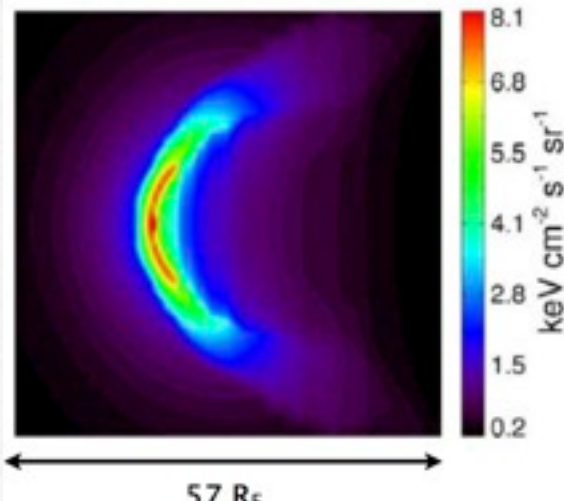
太陽風：

$\sim 400 \text{ km/s}$ ,  $\sim 10 \text{ /cc}$  @ 地球

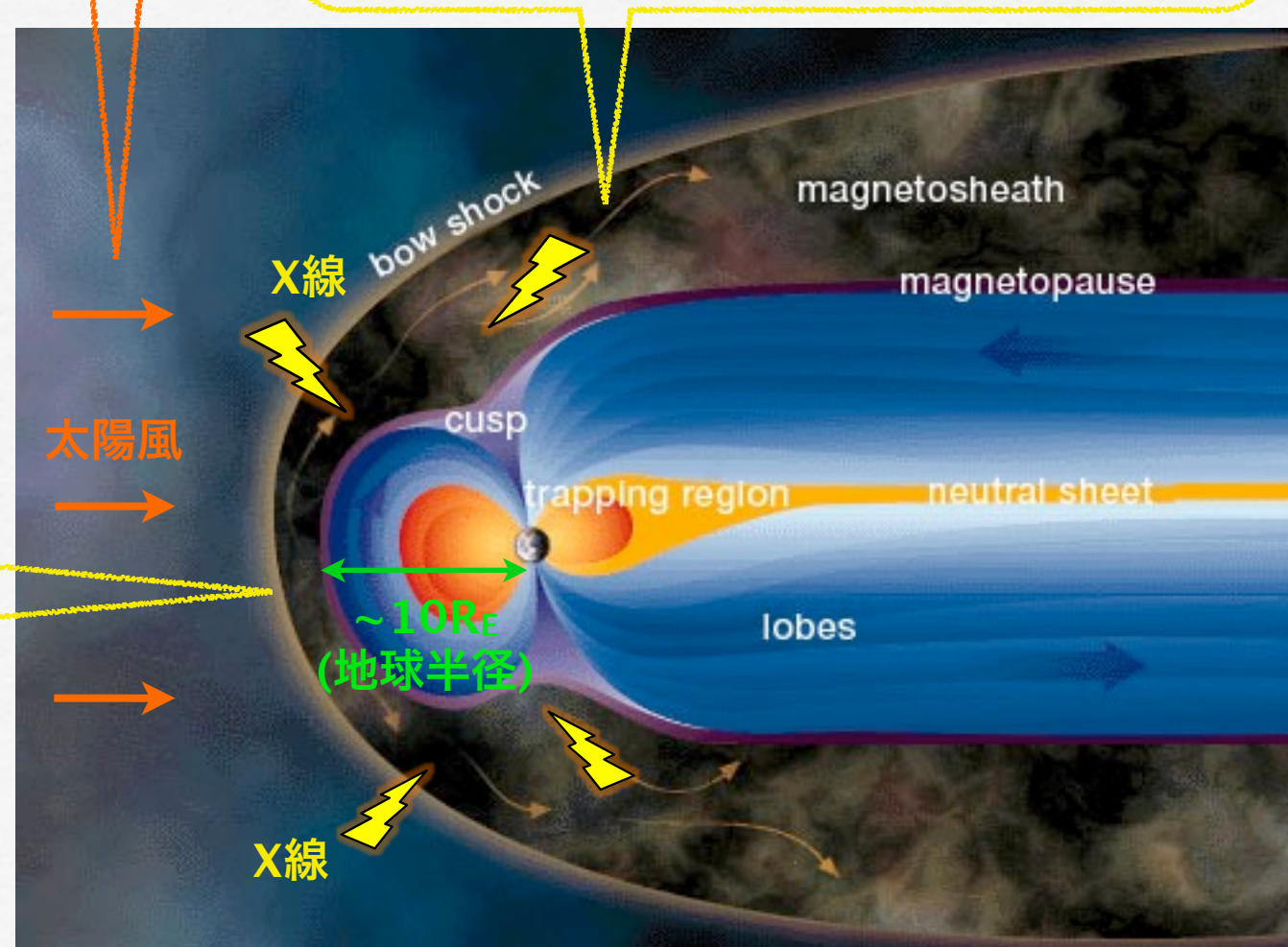
SWCXのX線画像

シミュレーション

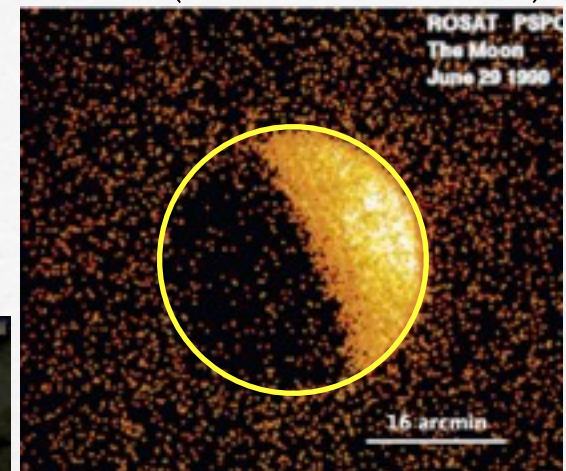
(Robertson+06)



外圏の中性水素 +  
地球周辺に到達した太陽風イオン



X線 (Schmitt+91)



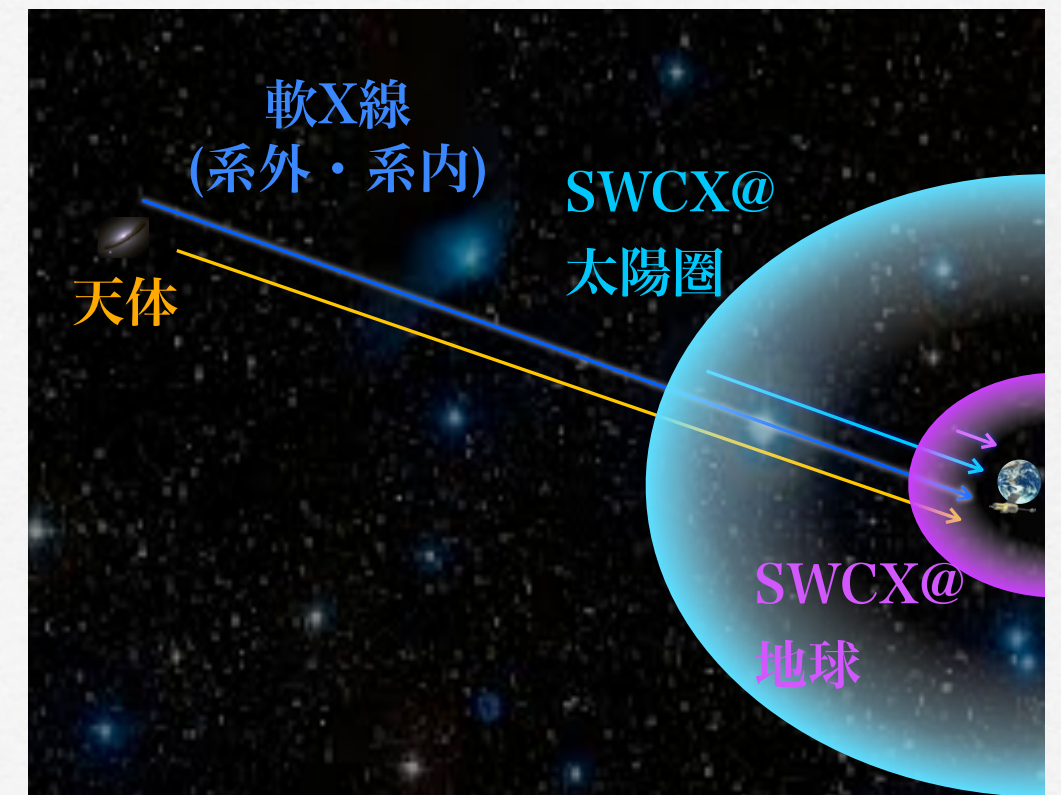
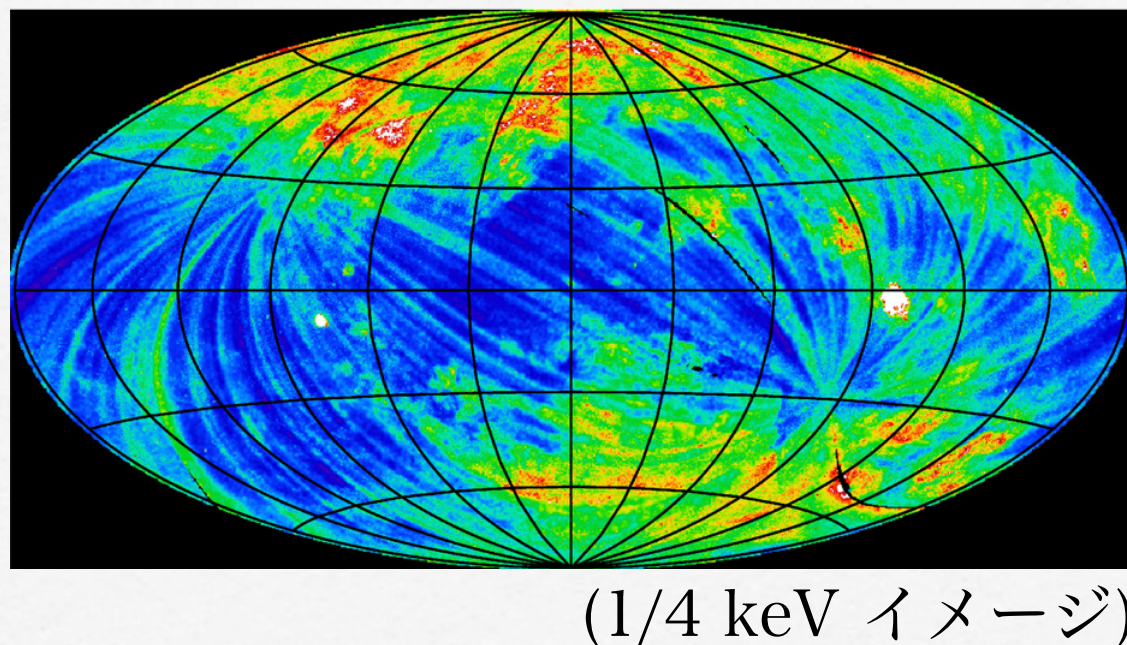
イメージ図

- 地球SWCXのX線観測：磁気圏の可視化に期待

# 地球外圏での SWCX 2 (X線観測の前景放射)

- 軟X線背景放射のうち、~日単位の時間変動成分を発見
  - 彗星X線観測：SWCX放射は太陽風の変動に伴う時間変動あり  
→ 地球近傍からのSWCX放射

ROSAT X線全天マップ (Snowden+97)



- 地球から観測した全X線データ：地球近傍からのSWCX放射が含まれる  
→ X線観測にとっても地球SWCX放射は大事

# X線観測衛星



- Chandra (1999-, 米) 0.1 ~ 10 keV
  - 優れた角度分解能 : 0.5 arcsec  
→ 月の夜側観測ではじめて地球SWCX放射を直接検出
  - 有効面積 @ 1 keV : 300 cm<sup>2</sup> (ACIS-I)



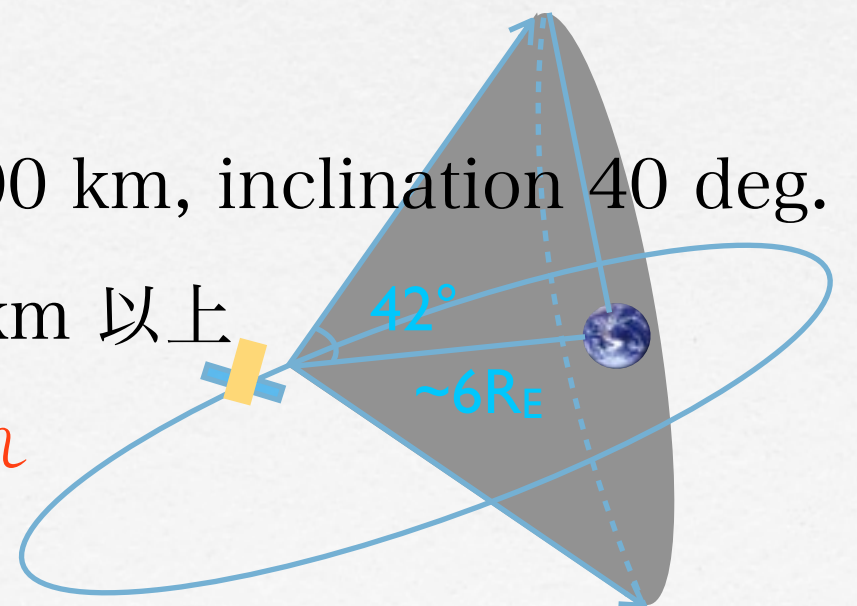
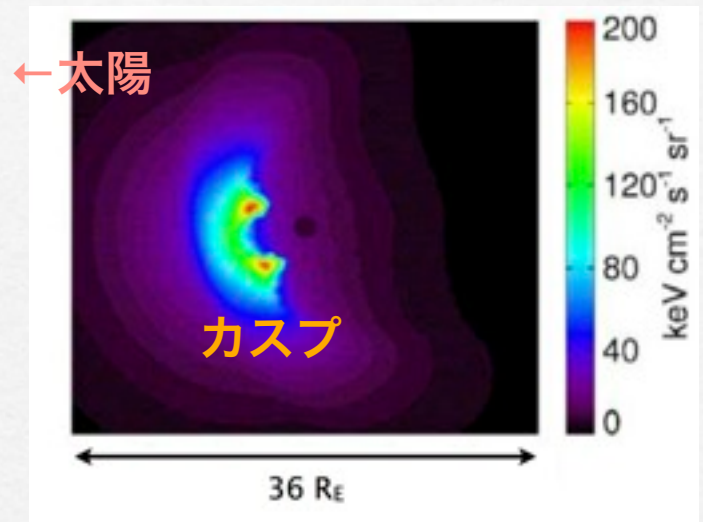
- XMM-Newton (1999-, 欧) 0.1 ~ 12 keV
  - 広い有効面積 @ 1 keV : 2000 cm<sup>2</sup> (MOS1,2, pn)



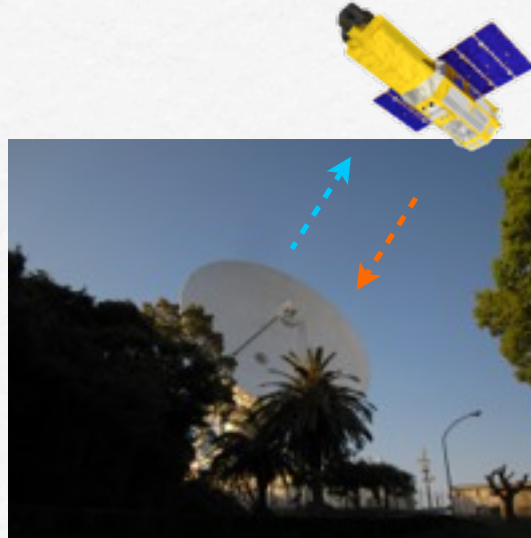
- すざく (2005-, 日) 0.1 ~ 12 keV
  - 有効面積 @ 1 keV : 1000 cm<sup>2</sup> (XIS FI x 3, BI)
  - 近地球軌道 : 検出器バックグランド低い
- 広がったSWCX放射の観測 : XMM-Newton と「すざく」が有利

# XMM-Newton による地球SWCX放射の観測

- XMMアーカイブデータを用いた系統解析 (Carter+08, 11)
  - 全3012データ中、103のデータで時間変動する SWCX 放射を検出
  - SWCX放射が強くなる
    - 太陽側の magnetosheath : Robertson+06モデルと一致
    - CME (Coronal Mass Ejection) 発生時
- 問題点
  - XMM軌道 : 近地点7000 km, 遠地点 114000 km, inclination 40 deg.
  - 観測 : 地球方向 42 deg 以上, 高度 40000 km 以上
  - 観測方向がほぼ太陽側のシース領域に限られ  
カスプを含んだ地球近傍を観測できない

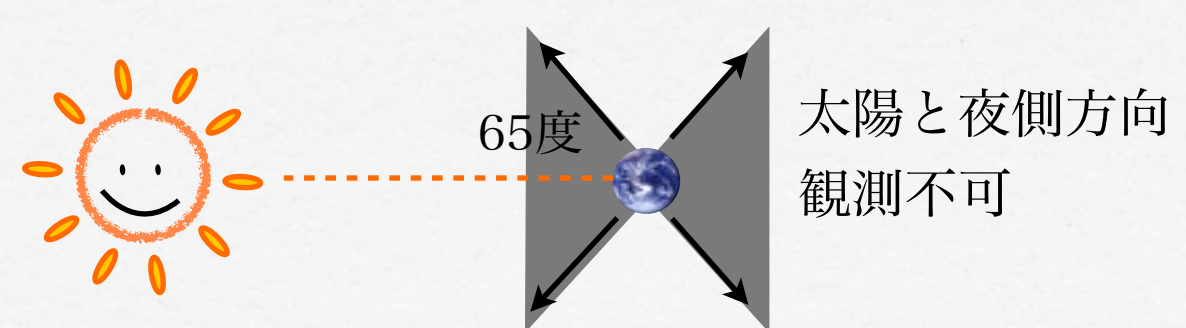
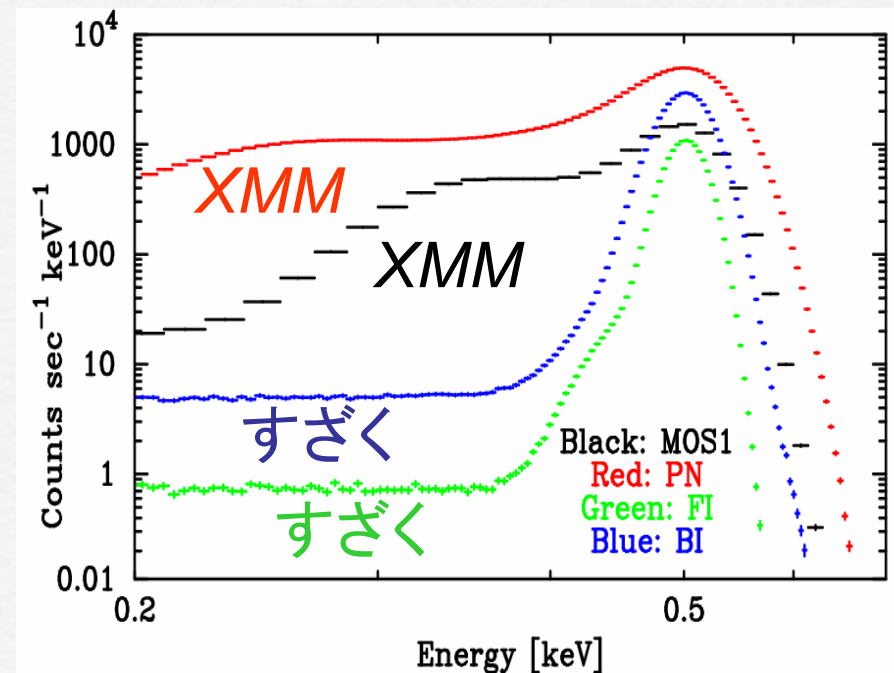


# 「すばく」衛星



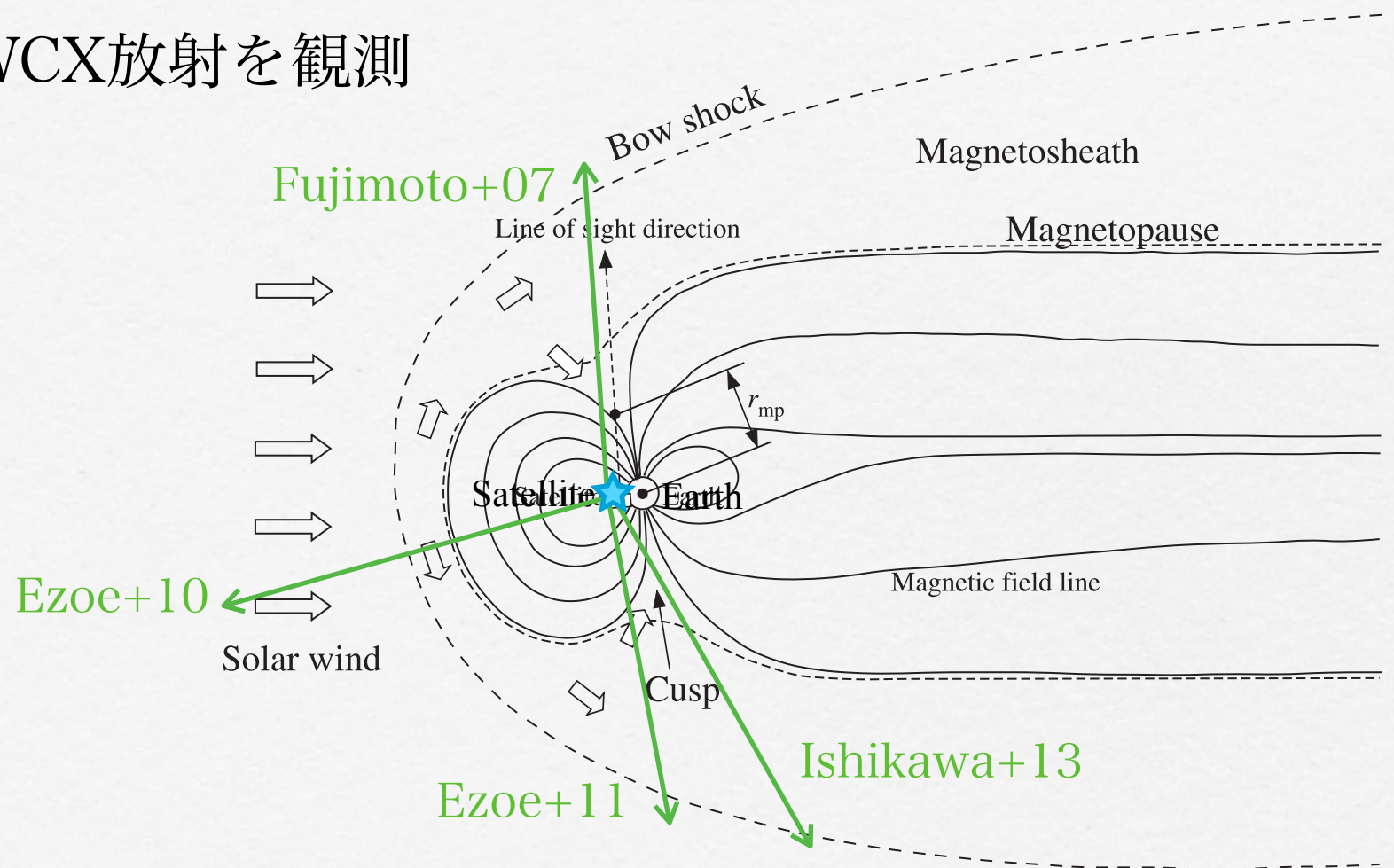
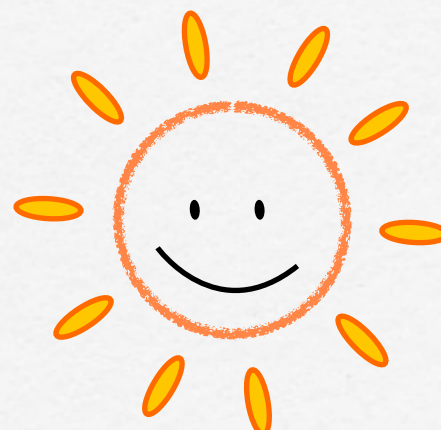
- 2005年7月打ち上げ
- 日本で5代目のX線観測衛星
- 約1年に1度、運用当番 @ 内之浦
- 軟X線検出器 : X線CCD (XIS)

- 1 keV 以下で高い輝線感度  
→ SWCXによる輝線観測に適する
- 近地球軌道 (高度 ~550 km)で  
検出器のバックグラウンド低い  
→ 視野全体に広がったSWCX放射を  
地球近傍まで捉えられる
- 観測方向：  
太陽角制限あり (65~115度で観測可)



# 「すざく」による地球SWCX放射の観測

- 時間変動するSWCX放射を4つのデータで検出
  - 色々な方向でSWCX放射を観測



- これまでの予想に反して、  
太陽側のシース領域に限らず強いSWCX放射が出てるかも

## 目的のまとめ

- 軟X線背景放射：地球のSWCXがどの程度寄与しているか不明
- 地球外圏の分布：中性原子・分子は観測が難しい。特に  $>\sim 10R_E$  以上
- 地球磁気圏の可視化：磁気圏の全体像を捉える



これらを知るためには

様々な方向からの地球SWCX放射の観測が有効

- Chandra や XMM-Newton：感度や姿勢の制限から十分でない  
→ 「すざく」でしかできない
- 「すざく」の全公開データを解析し、地球SWCX放射を探す

# 本日のお話

1. Introduction

2. 解析手順

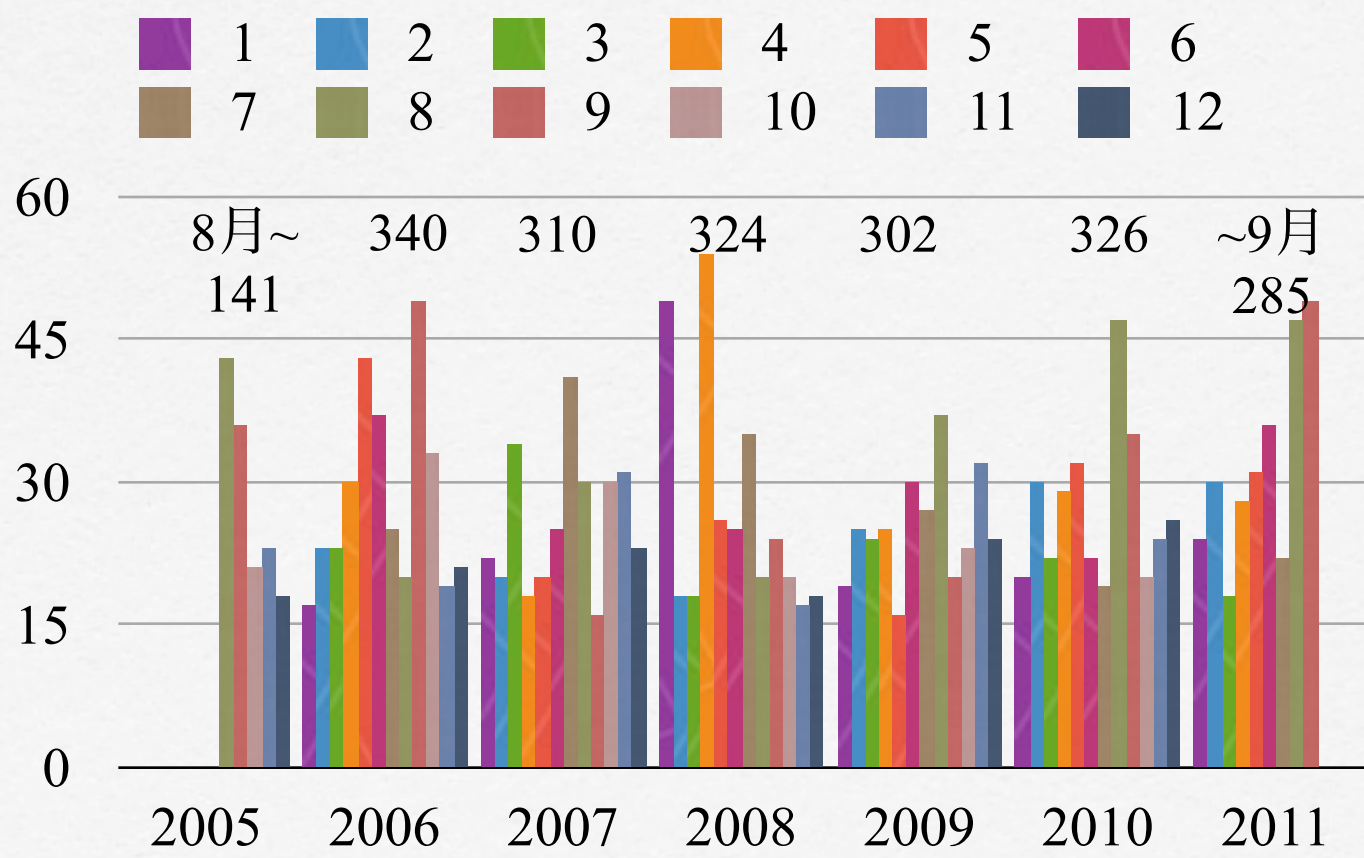
3. 結果

4. 考察

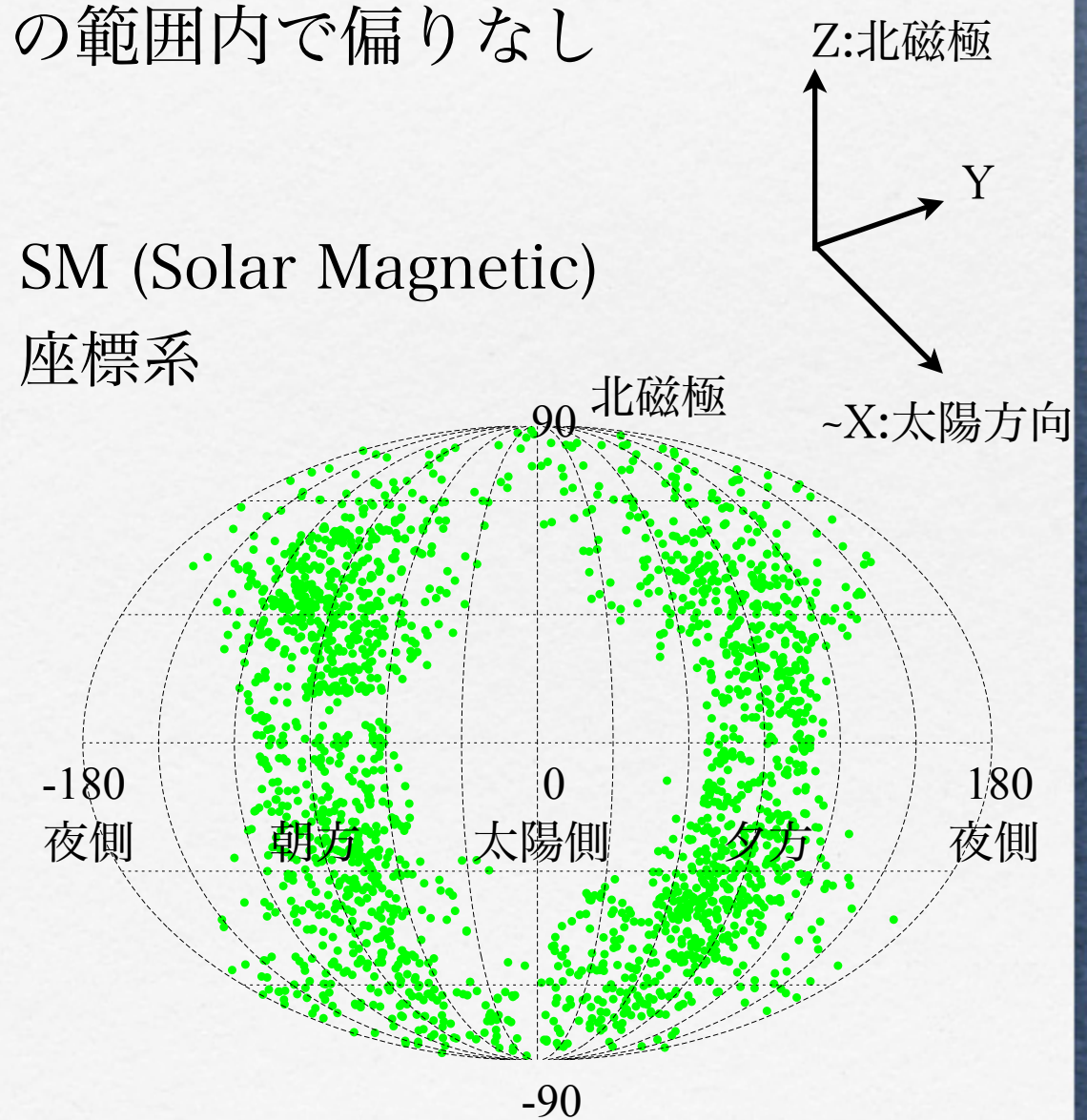
5. まとめ

## 解析データ

- 「すざく」全公開データ(2005年8月~2011年9月)を解析：2031 データ
- 全データ数：観測年の偏りなし
- 全データの視線方向：「すざく」の太陽角の範囲内で偏りなし

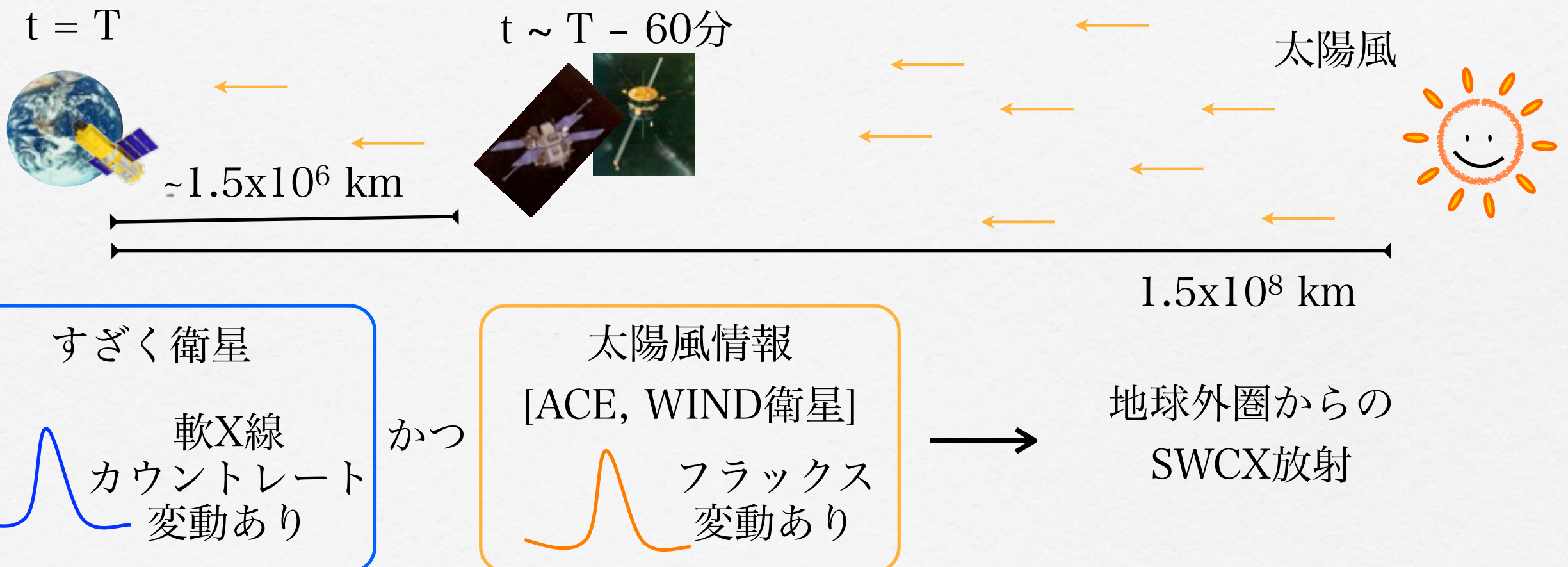


SM (Solar Magnetic)  
座標系



## 解析概要

- 天体を含むデータからSWCX放射を抽出する：Ezoe+11で方法確立



- 軟X線カウントレートと太陽風フラックスの変動を探す

## 解析手順 : flowchart

step 1

- X線カウントレートに変動あるか
- 太陽風プロトンフラックスに変動あるか

2031 データ

↓ Yes

step 2

- 軟X線が増光している領域を確認
- 太陽風とX線に正の相関あるか

↓ Yes

step 3

- スペクトル作成
- SWCXの輝線モデルで再現できたか

↓ Yes

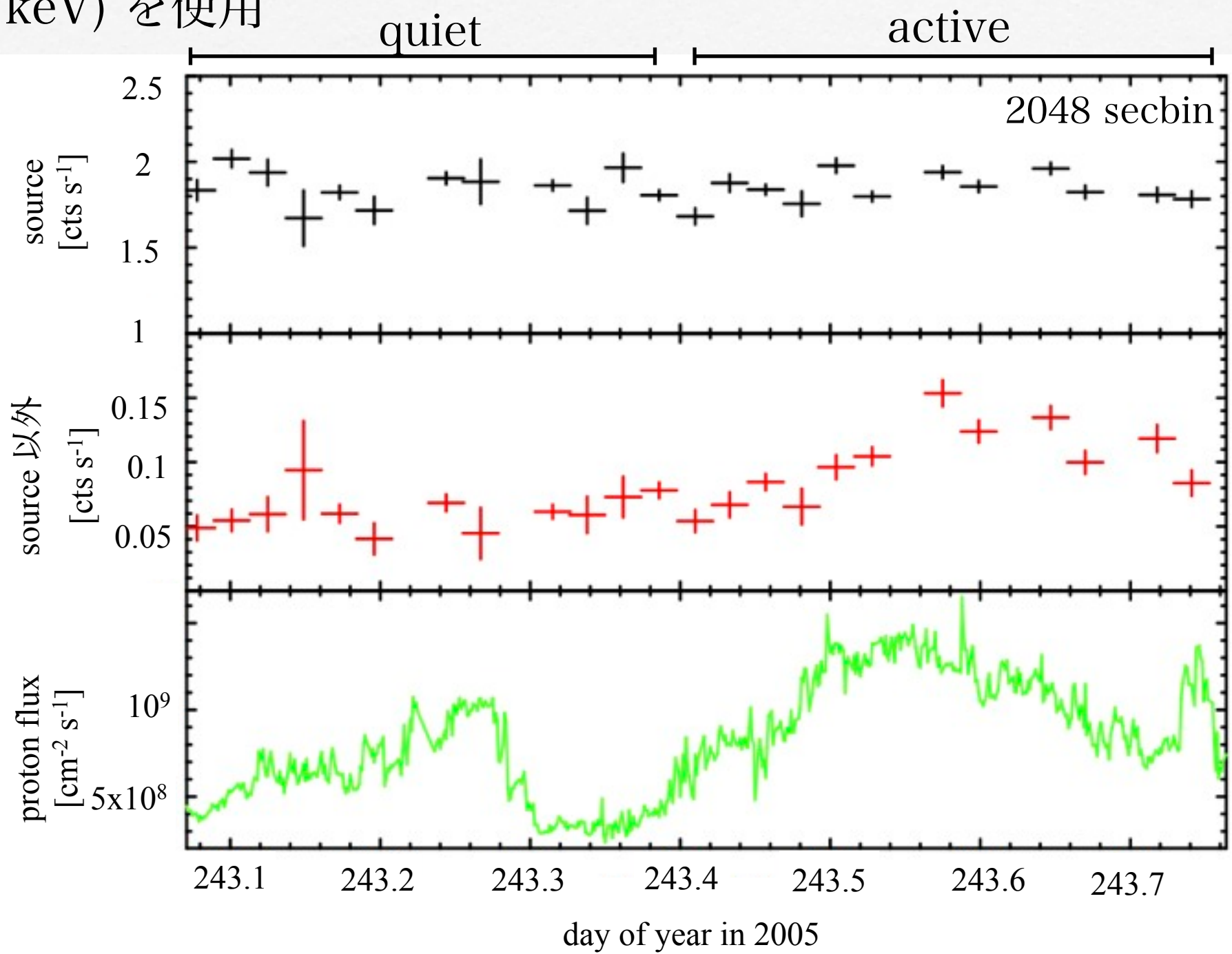
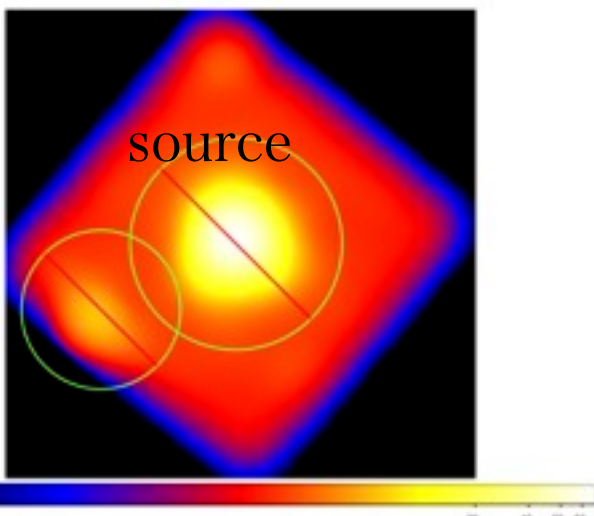
step 4

- X線カウントレート vs 太陽風フラックスを作成

## Step 1 : X線の変動探し

- 酸素ライン(0.5-0.7 keV) を使用

X線イメージ



- quiet / active 決定

## 2. 解析手順

### 解析手順 : flowchart

step 1

- X線カウントレートに変動あるか
- 太陽風プロトンフラックスに変動あるか

2031 データ

↓ Yes

step 2

- 軟X線が増光している領域を確認
- 太陽風とX線に正の相関あるか

~50 データ

↓ Yes

step 3

- スペクトル作成
- SWCXの輝線モデルで再現できたか

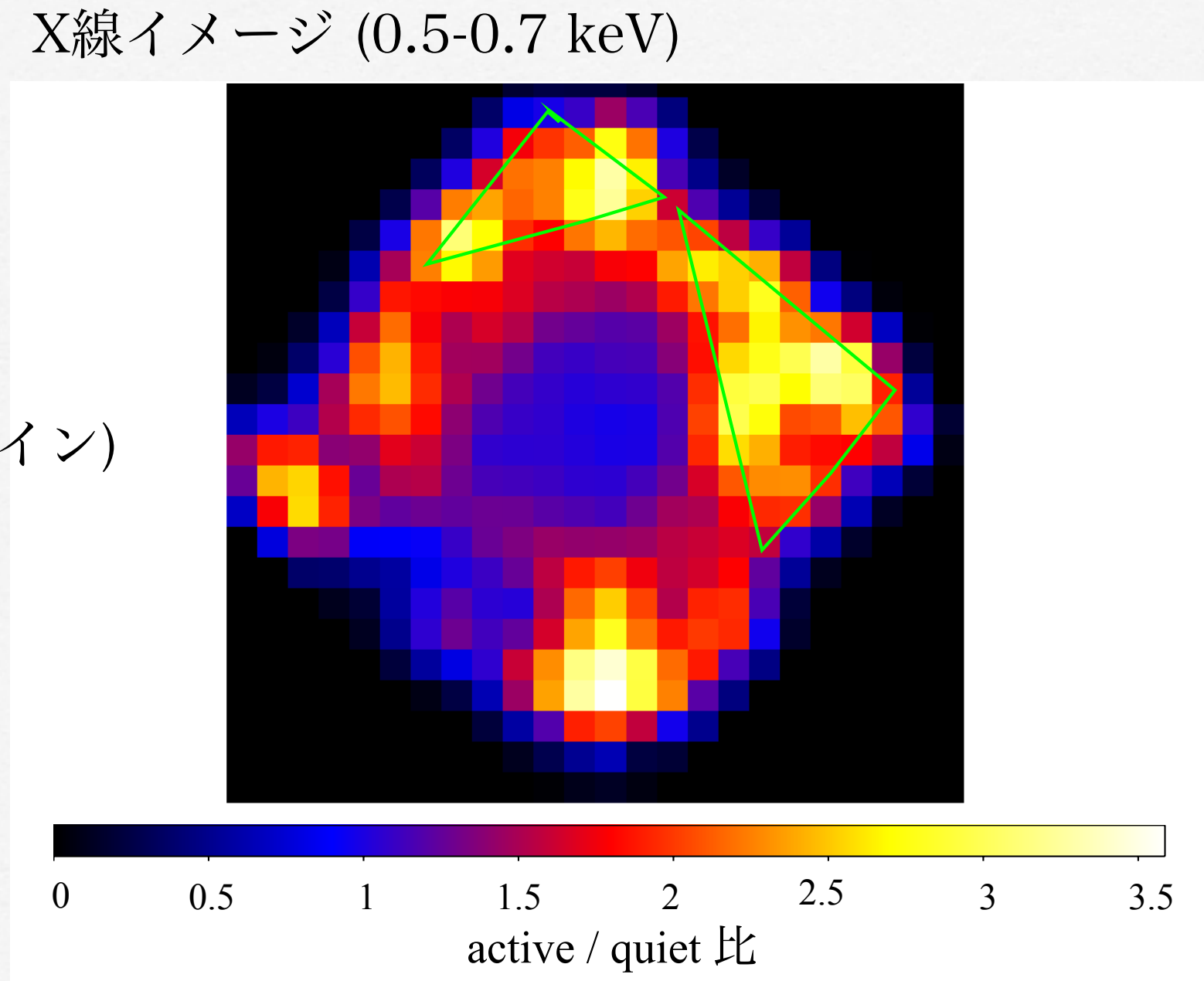
↓ Yes

step 4

- X線カウントレート vs 太陽風フラックスを作成

## Step 2: イメージ解析 + 太陽風との相関

- ratio map 作成：  
active / quiet
- X線増光している領域：  
以降の解析で使用
- X線カウントレート(酸素ライン)  
とプロトンフラックスの  
相関係数 : 0.5  
正の相関を確認



## 解析手順 : flowchart

step 1

- X線カウントレートに変動あるか
- 太陽風プロトンフラックスに変動あるか

2031 データ

step 2

- 軟X線が増光している領域を確認
- 太陽風とX線に正の相関あるか

~50 データ

step 3

- スペクトル作成
- SWCXの輝線モデルで再現できたか

~40 データ

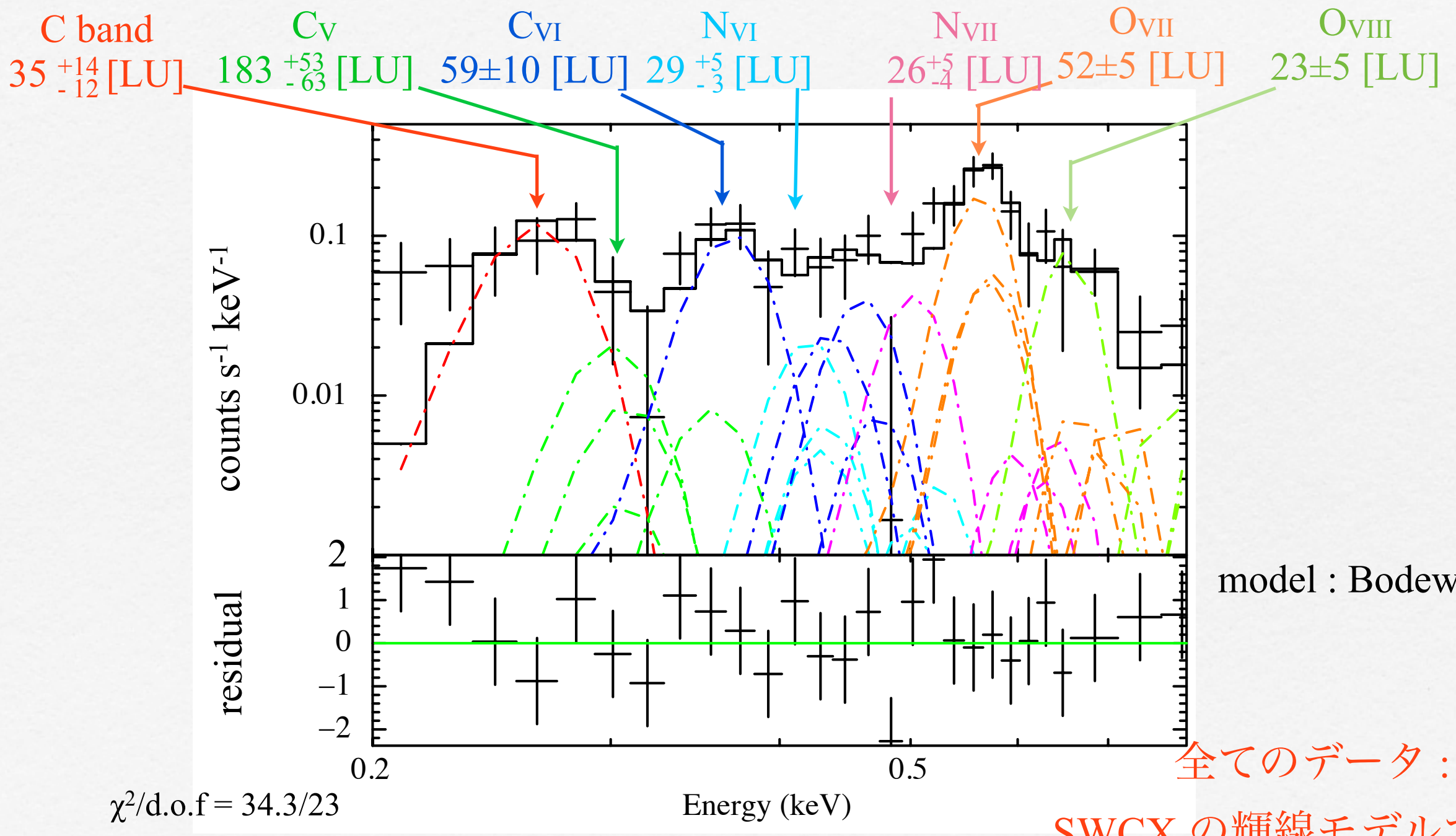
step 4

- X線カウントレート vs 太陽風フラックスを作成

## Step 3: スペクトル解析

- active のスペクトル作成 (quiet を差し引いた)

( LU = ph cm<sup>-2</sup> s<sup>-1</sup> str<sup>-1</sup> )



## 解析手順 : flowchart

step 1

- X線カウントレートに変動あるか
- 太陽風プロトンフラックスに変動あるか

2031 データ

step 2

- 軟X線が増光している領域を確認
- 太陽風とX線に正の相関あるか

~50 データ

step 3

- スペクトル作成
- SWCXの輝線モデルで再現できたか

~40 データ

step 4

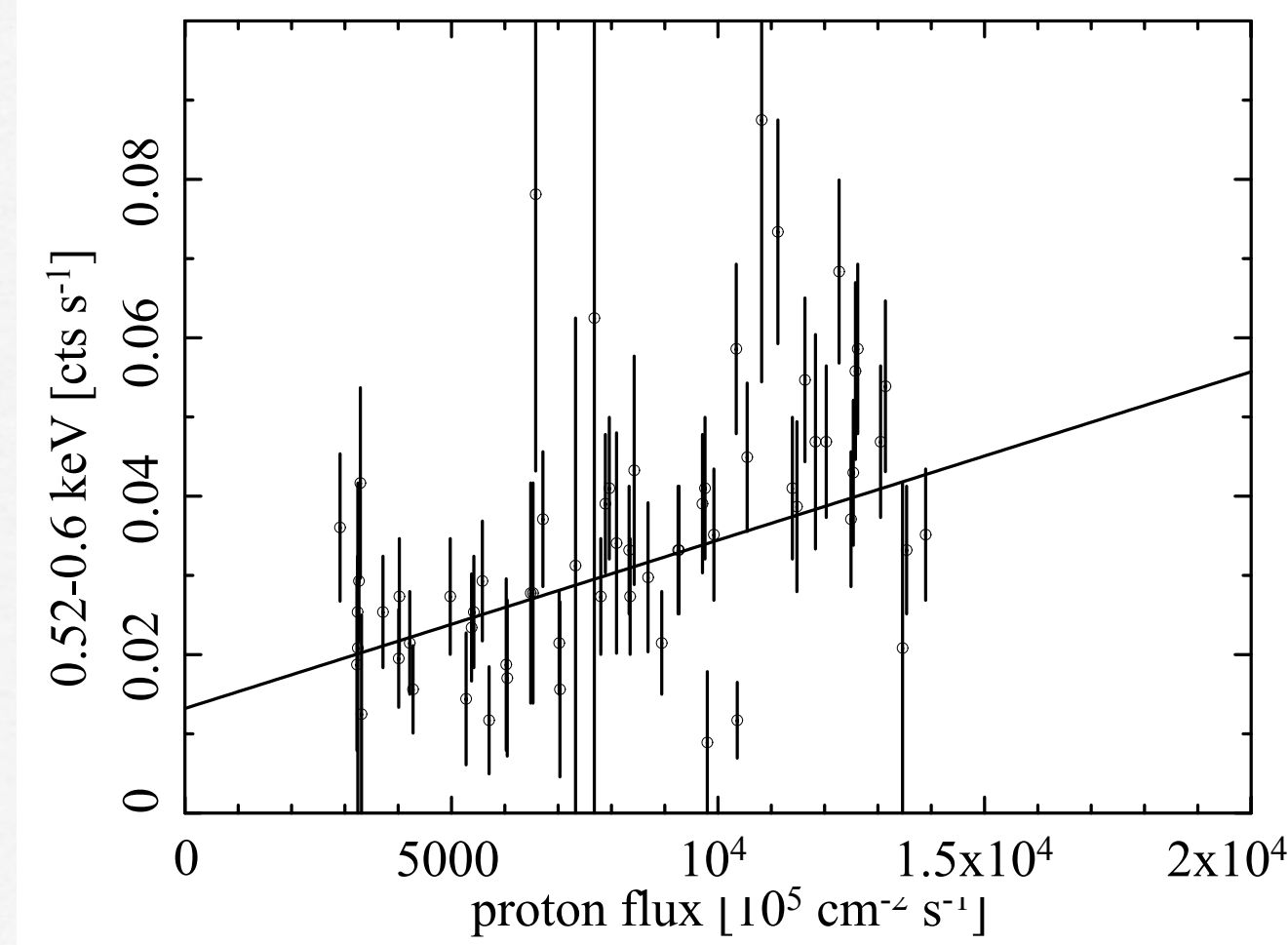
- X線カウントレート vs 太陽風フラックスを作成

38 データ

## Step 4 : emissivity

- プロトンフラックスと酸素(OVII)の輝線フラックス

直線でフィット :  $C_{\text{XIS}} \text{ [cts s}^{-1}\text{]} = a \times C_{\text{proton}} \text{ [10}^5 \text{ cm}^{-2} \text{ s}^{-1}\text{]} + b$



- 切片  $b = 8 \pm 13$  [LU] : バックグラウンド放射 (検出器+sky+天体の漏れ込み)
- 傾き  $a : 0.005 \pm 0.002$  [LU/proton flux ( $10^5 \text{ cm}^{-2} \text{ s}^{-1}$ )] : SWCX emissivity

# 本日のお話

1. Introduction

2. 解析手順

3. 結果

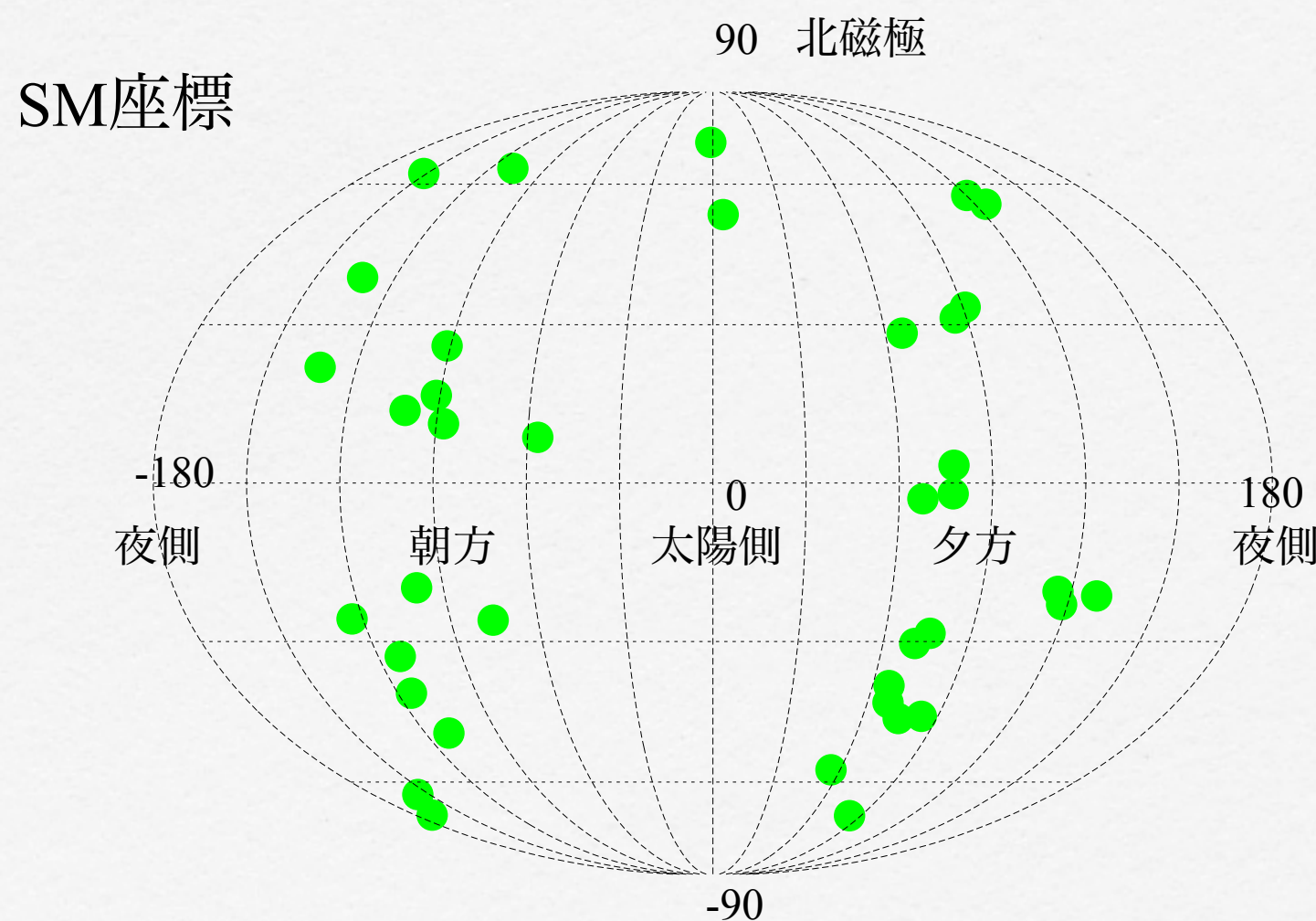
4. 考察

5. まとめ

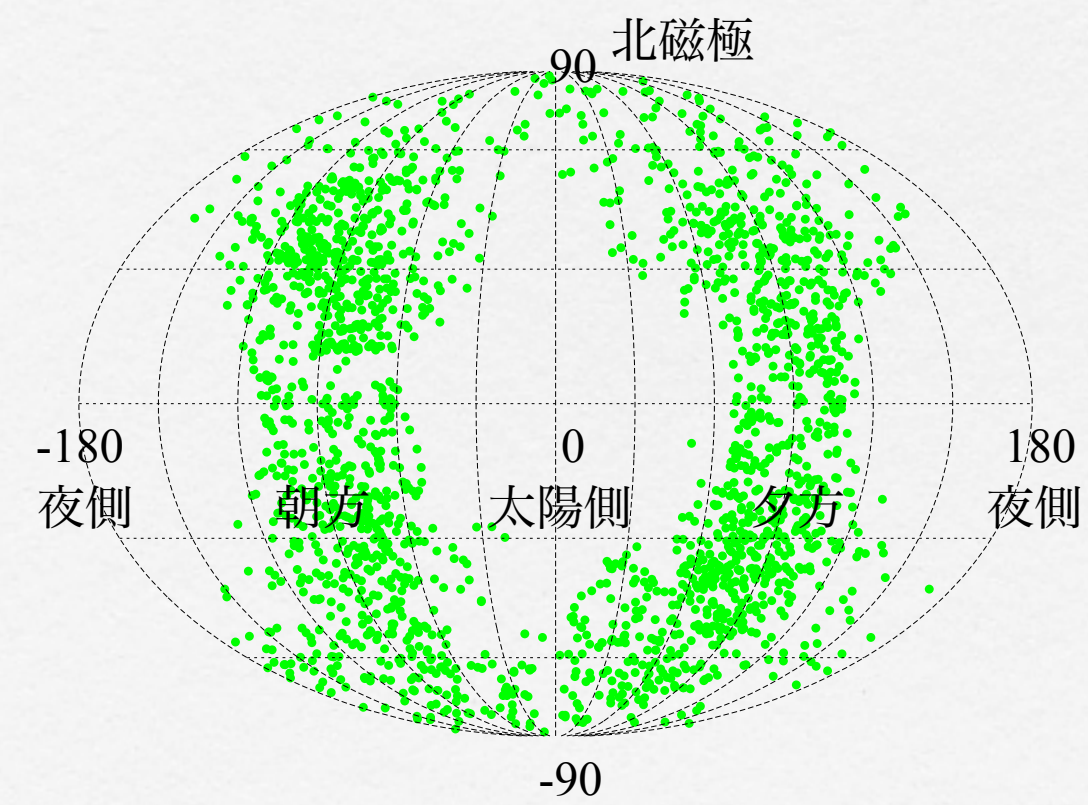
## SWCX放射の検出数 1：視線方向

- 検出総数：38データ (全観測の~2%)
- 視線方向：特に方向性の偏りなし

38データの観測方向

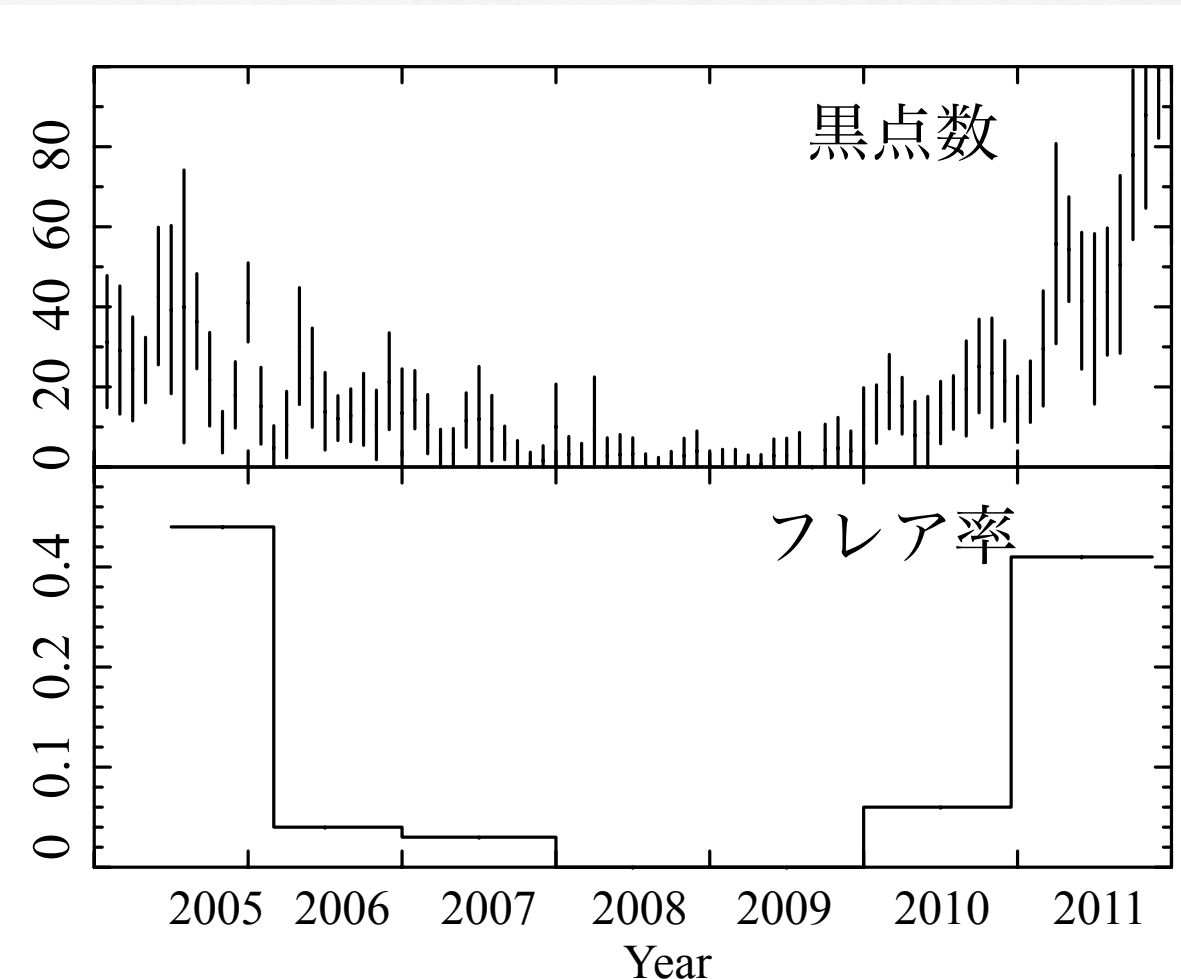
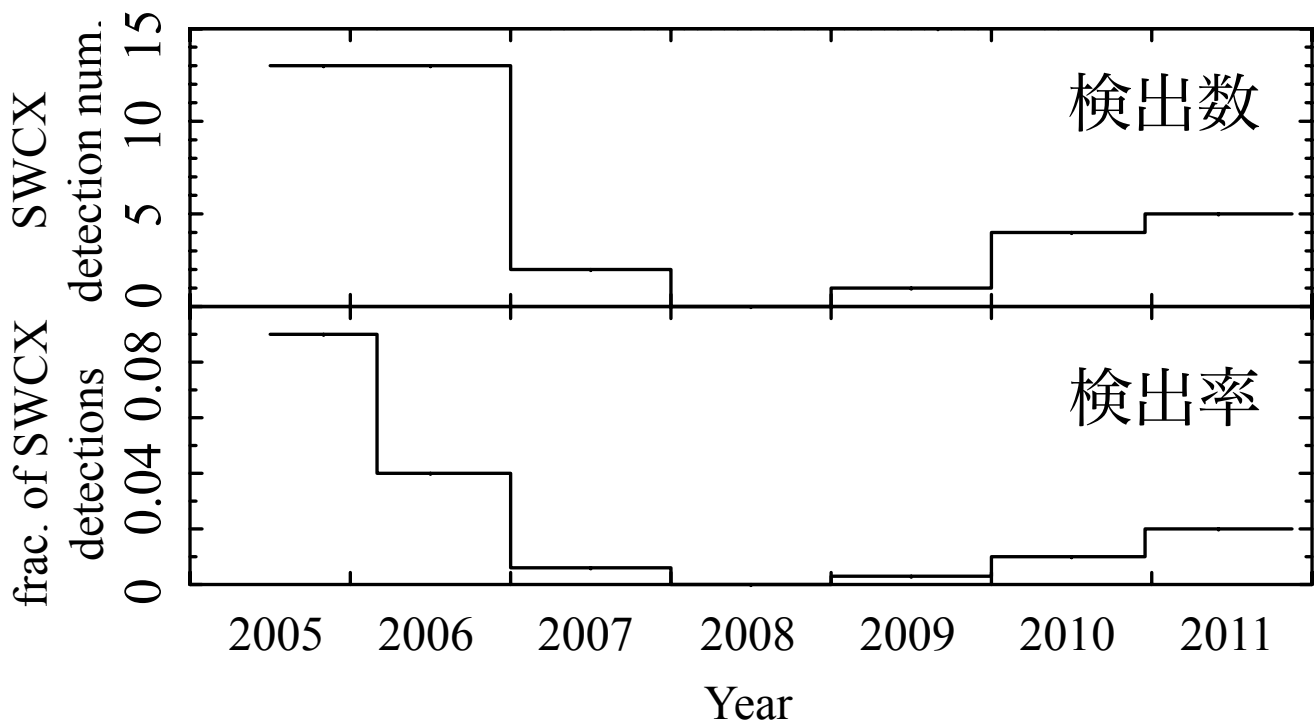


「すざく」の全観測方向



## SWCX放射の検出数 2: 太陽活動との関係

- 検出率: 検出数 / 各年の全データ数
- 太陽活動度(黒点数), Mクラス以上のフレア数
- 太陽活動サイクルやフレア数と似た傾向で検出数が変動



# 本日のお話

1. Introduction

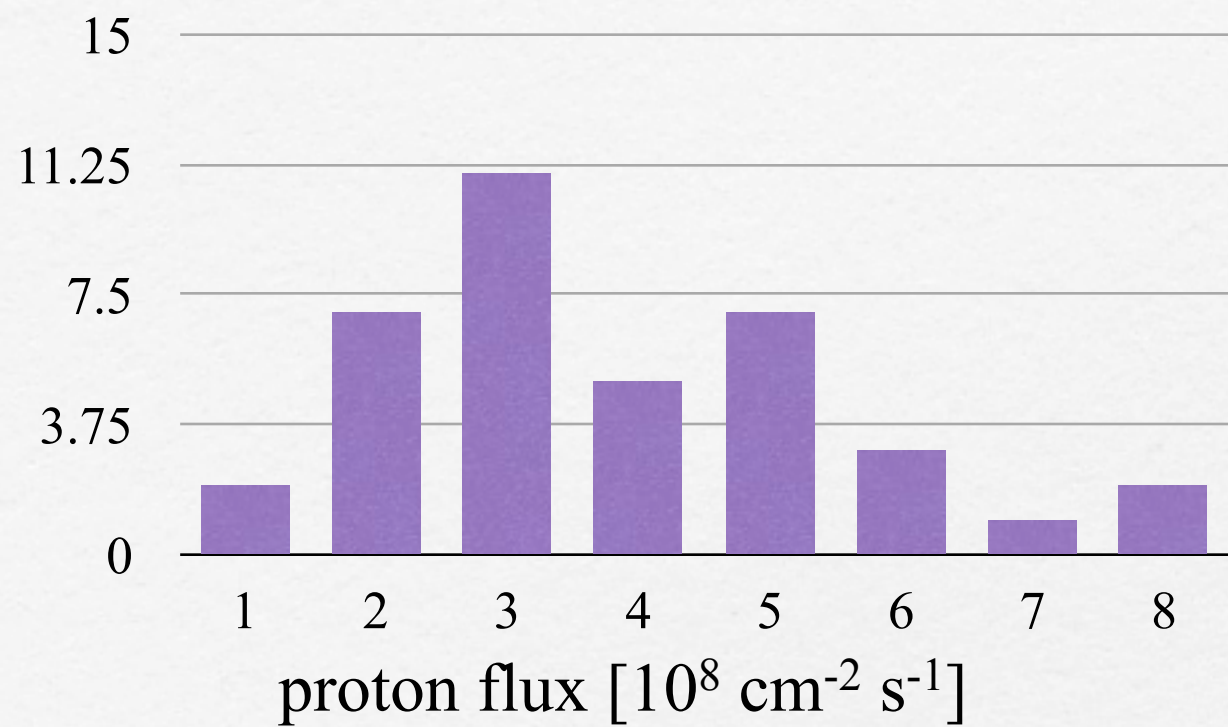
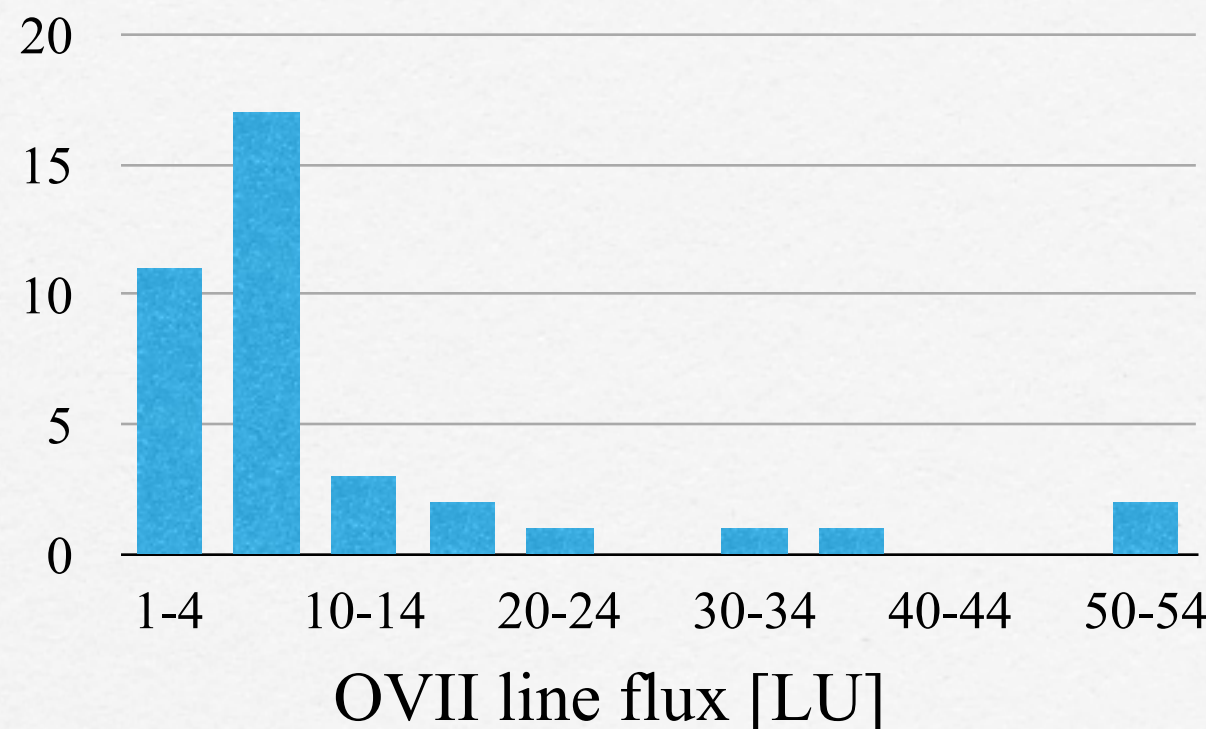
2. 解析手順

3. 結果

4. 考察

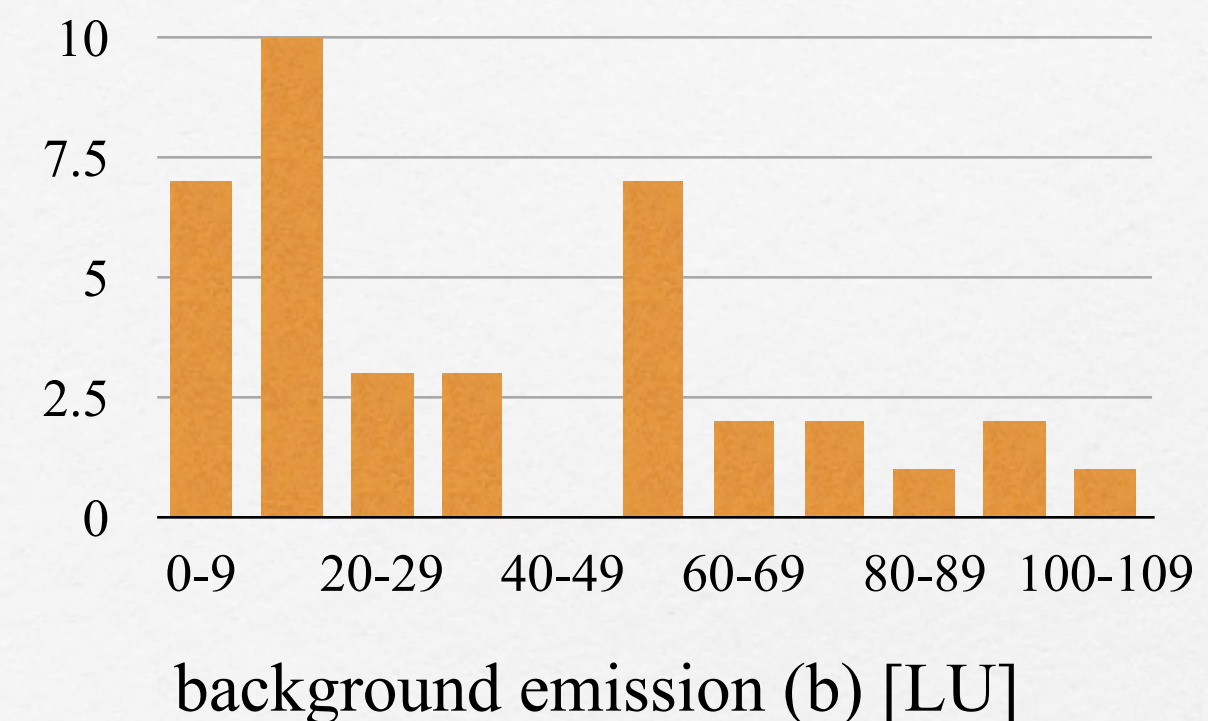
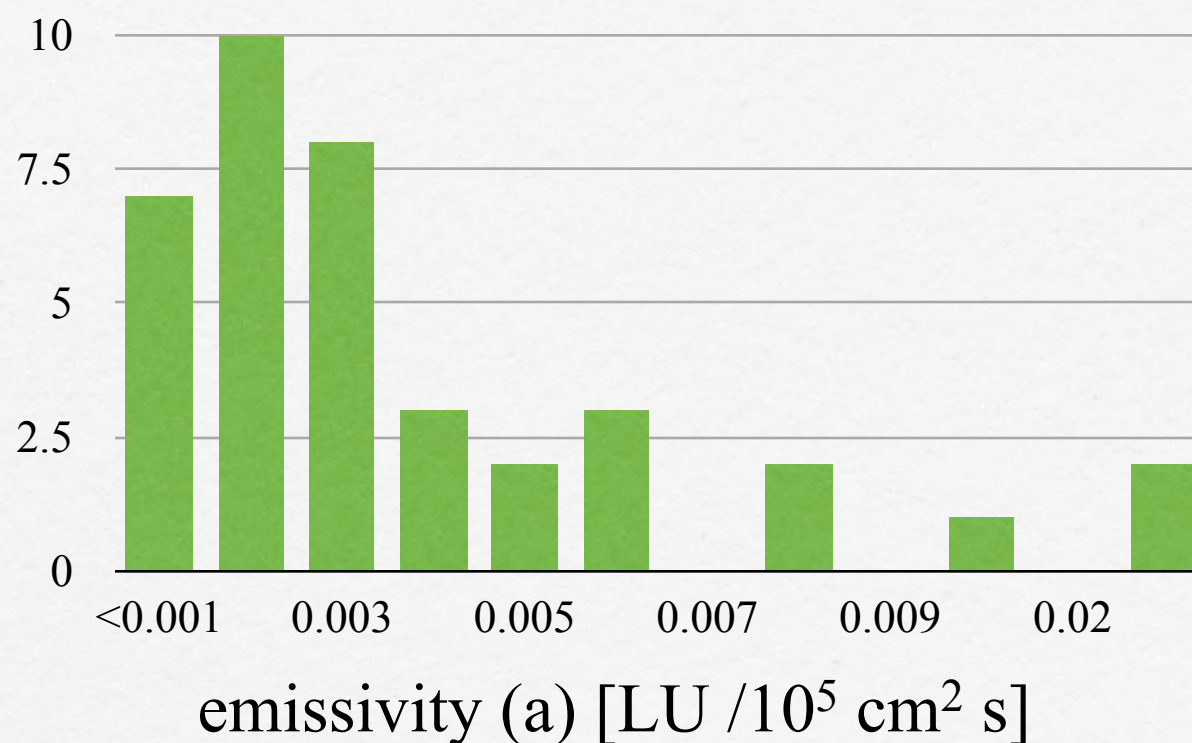
5. まとめ

## 検出データの各パラメータの分布



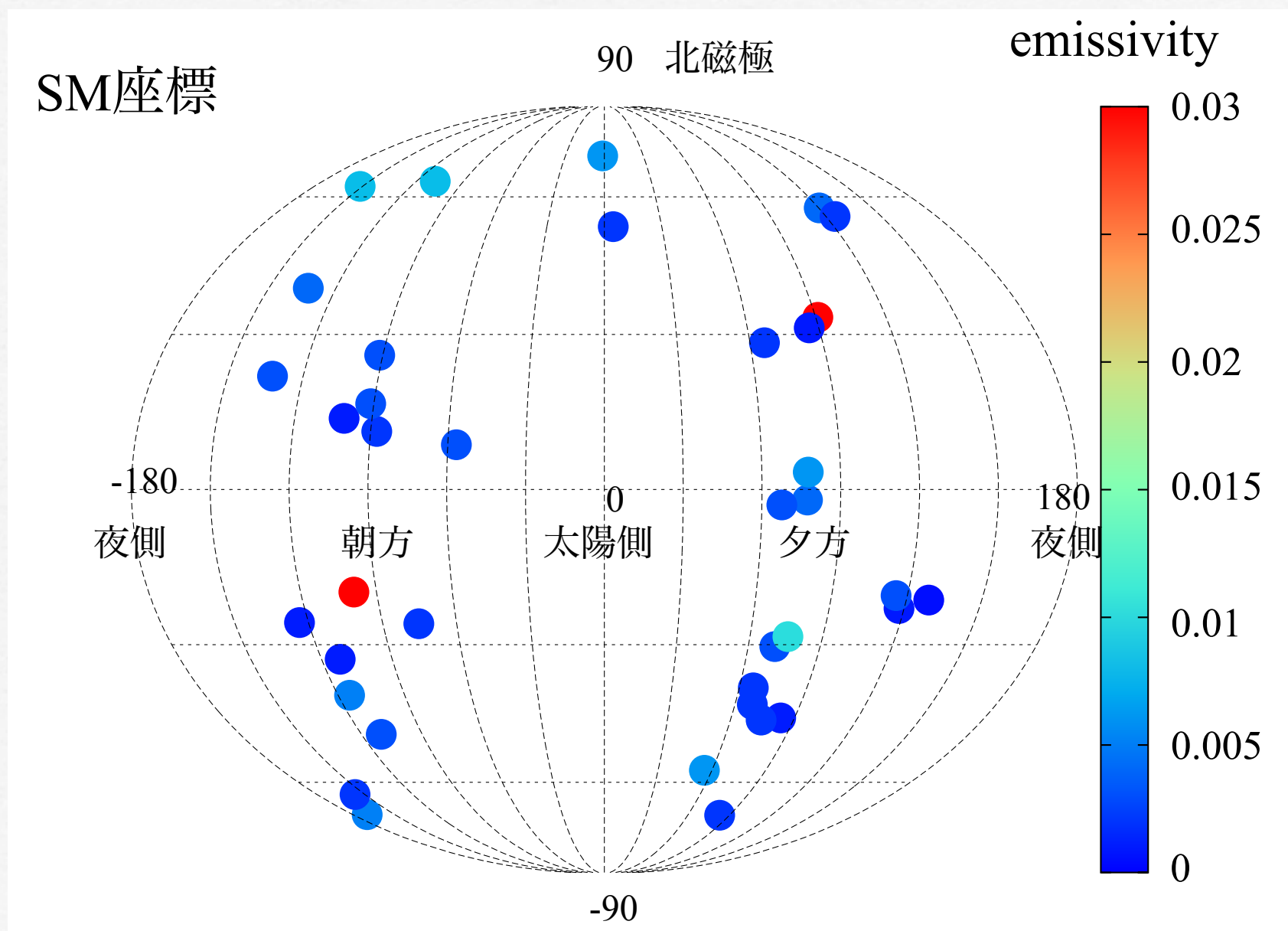
- OVII line flux ピーク値 : 5-9 LU
- プロトンフラックス :  $3 \times 10^8 \text{ cm}^{-2} \text{ s}^{-1}$
- $C_{\text{XIS}} [\text{cts s}^{-1}] = a \times C_{\text{proton}} [10^5 \text{ cm}^{-2} \text{ s}^{-1}] + b$
- SWCX emissivity  $a \sim C_{\text{XIS}} / C_{\text{proton}}$  :  $0.002 \sim 0.003 [\text{LU}/(10^5 \text{ cm}^2 \text{ s})]$

## 検出データの各パラメータの分布



- SWCX emissivity (a) のピーク値 :  $0.002 \text{ LU}/(10^5 \text{ cm}^2 \text{ s})$   
-> OVII とプロトンフラックス分布の概算と一致
  
- バックグラウンド放射 (b) のピーク値: 10-19 LU  
-> 銀河系外 + 系内 + 太陽圏の放射 : 2~10 LU (Yoshino+09)  
+ 検出器 + 中心天体からの漏れ込み : 幅広い分布

# emissivityの分布

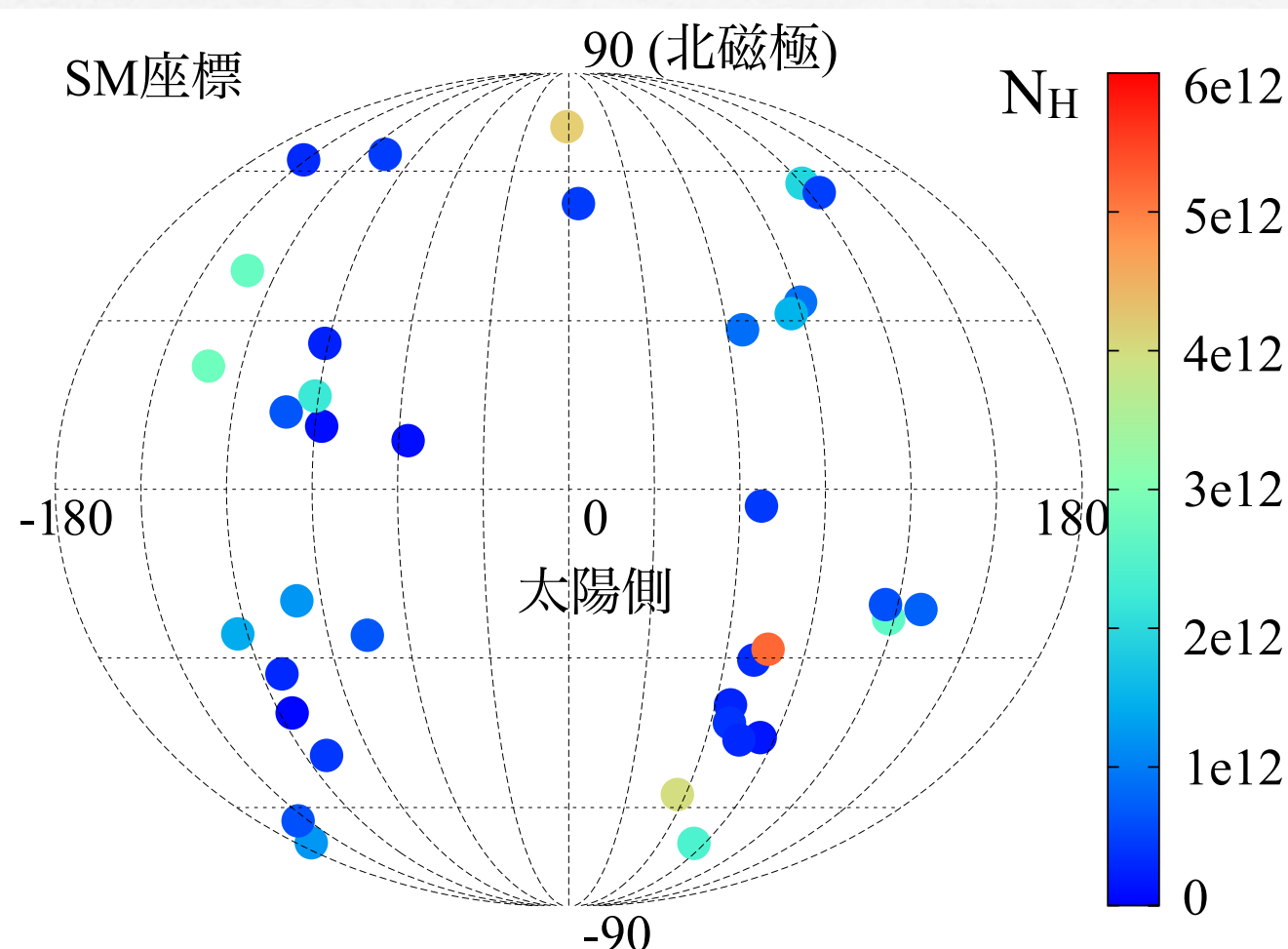


- 太陽側で emissivity 強いというような傾向は見られない

## 外圏水素密度 ( $N_H$ ) の分布

- emissivity  $a = C_{\text{swcx}}/C_{\text{proton}} \propto N_H$

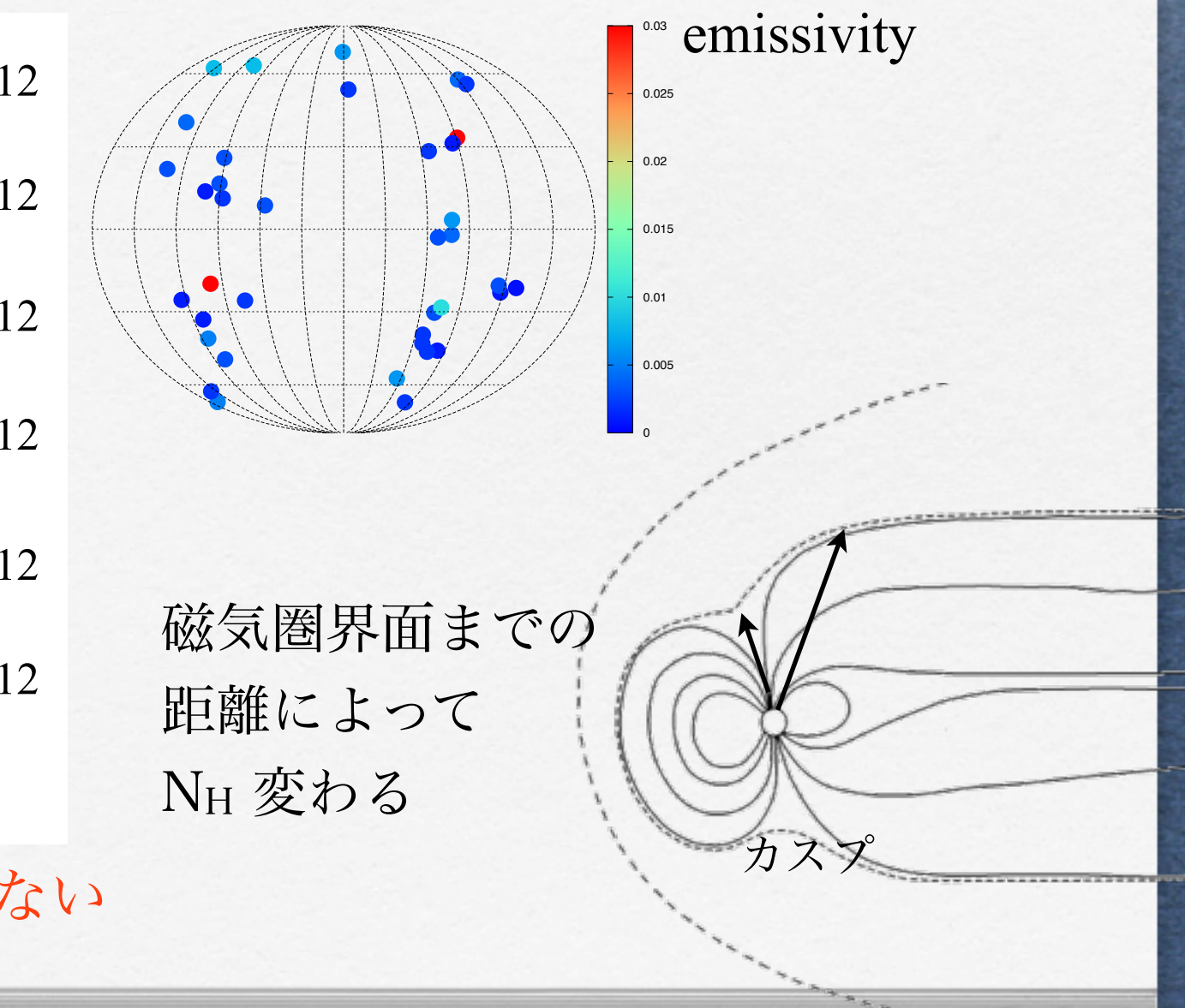
- $N_H$  : OVII 輝線flux,  $O^{7+}$  flux,  $\alpha = 6 \times 10^{-15} \text{ cm}^{-2}$  (Bodewits+07)



- ある方向で強いといった傾向みられない

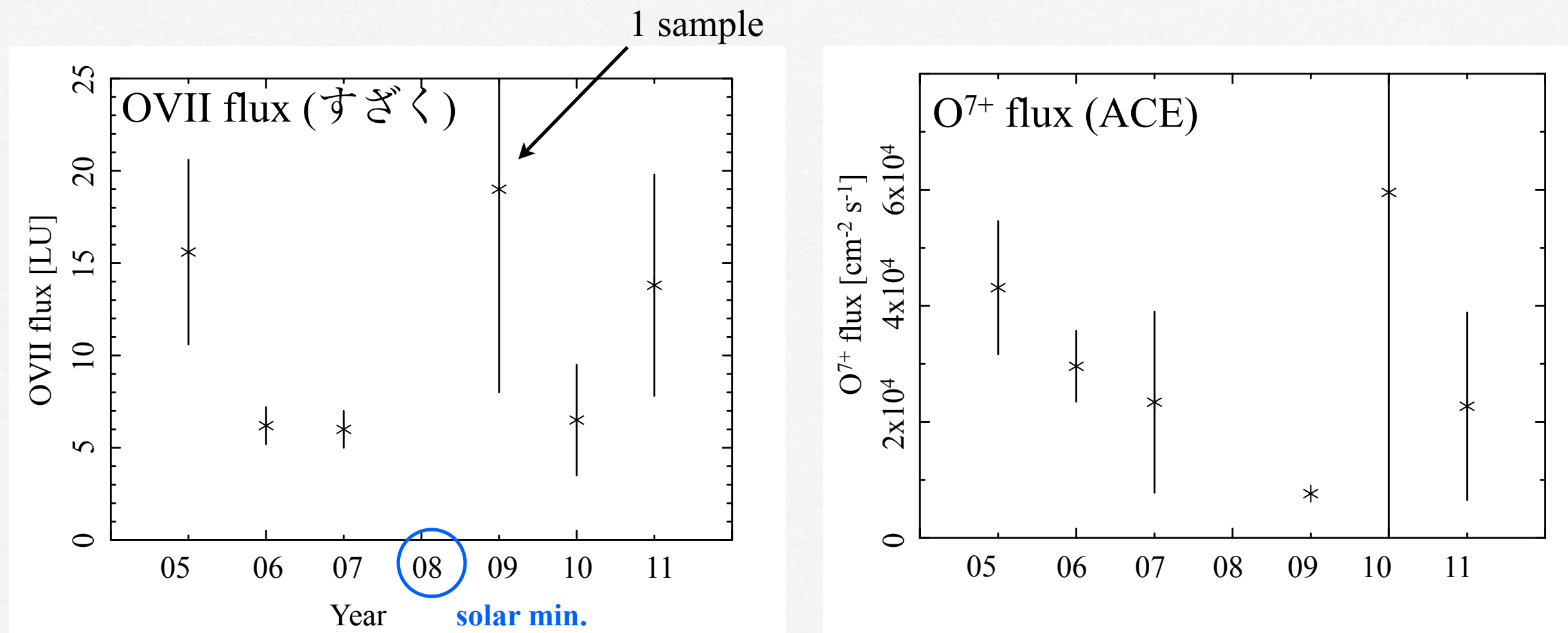
$$P_{\text{SWCX}} = \frac{1}{4\pi} \alpha P_{\text{SW}} N_H \text{ [LU]}$$

X線輝線flux イオンflux 外圏の柱密度  
cross section



## SWCX flux (OVII) と太陽活動の関係 1

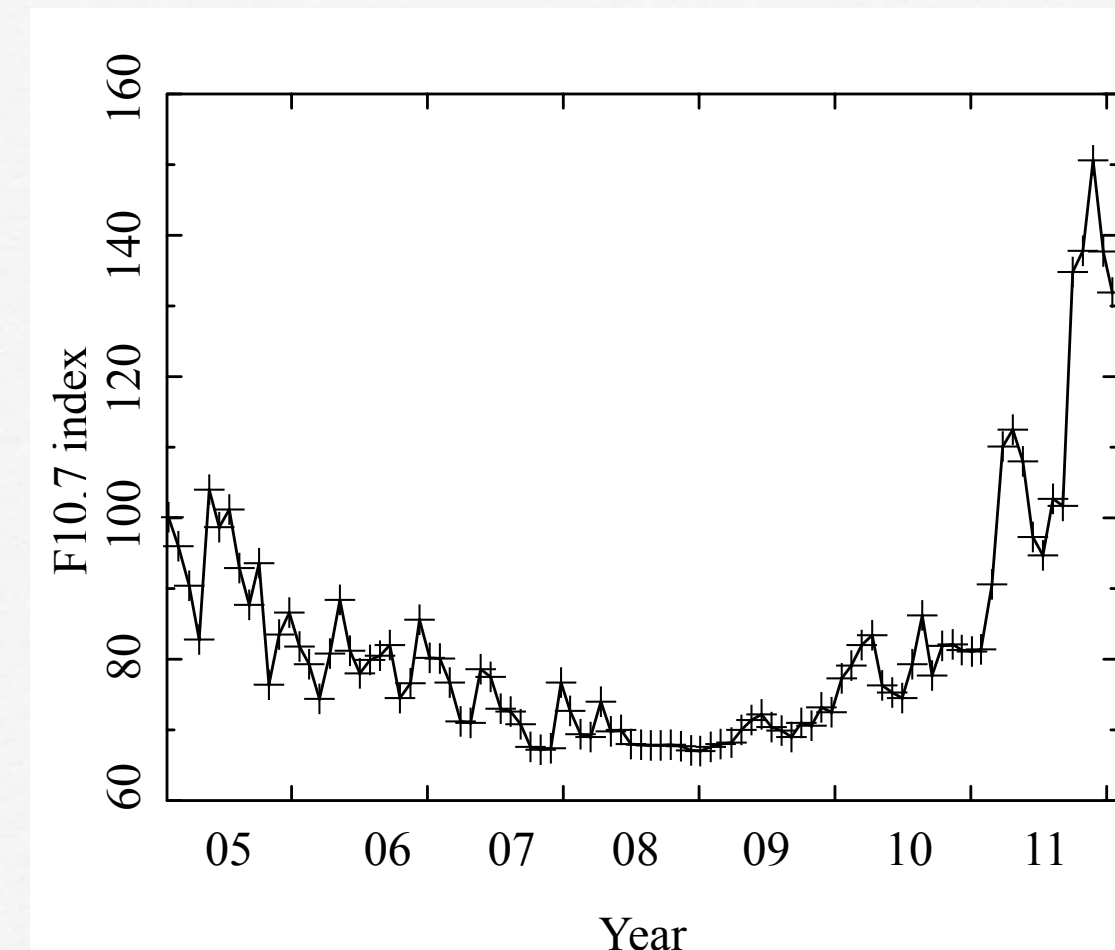
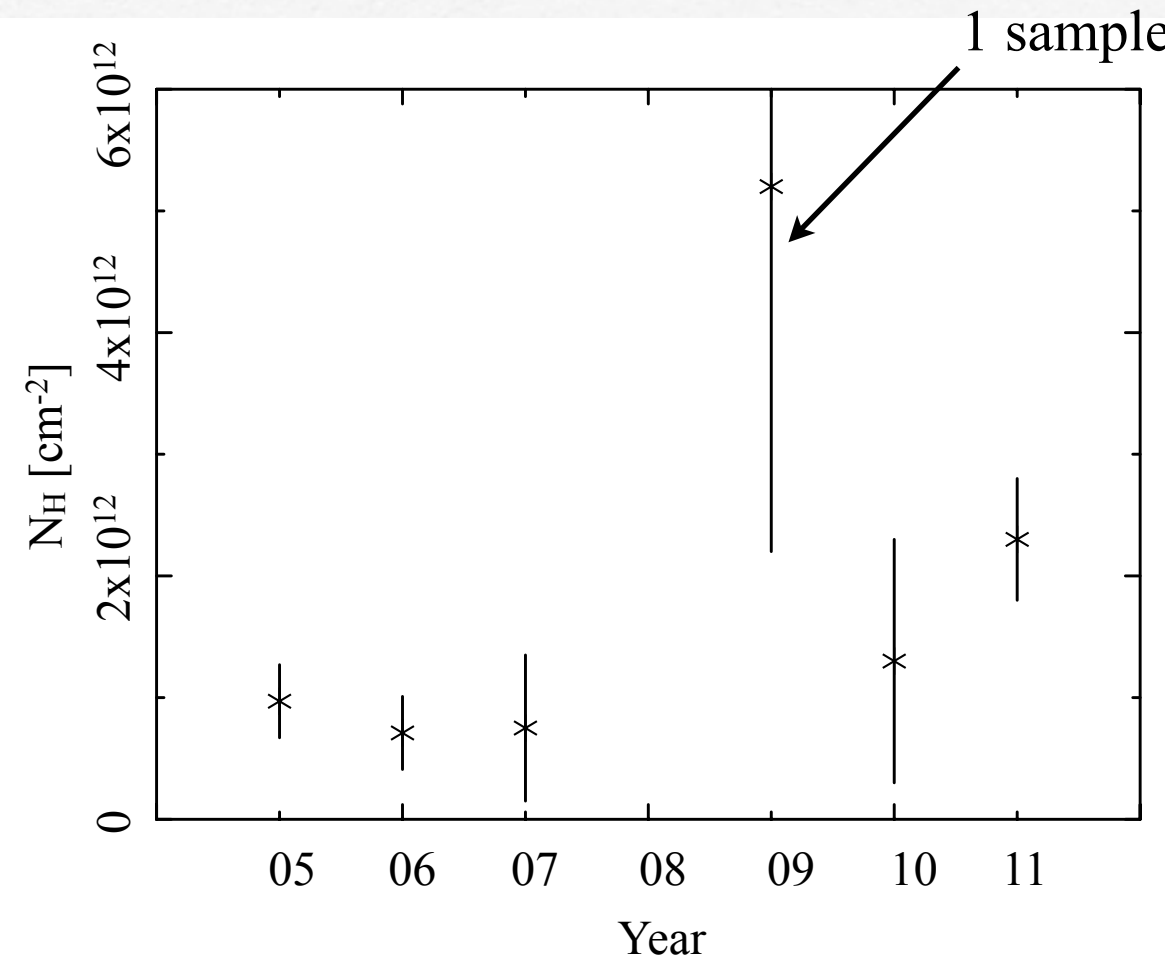
- 観測年ごとの平均 OVII flux と太陽風 O<sup>7+</sup> flux



- 太陽活動の低下：太陽風 O<sup>7+</sup> フラックス減少 → SWCX フラックスも減少

## $N_H$ と太陽活動の関係

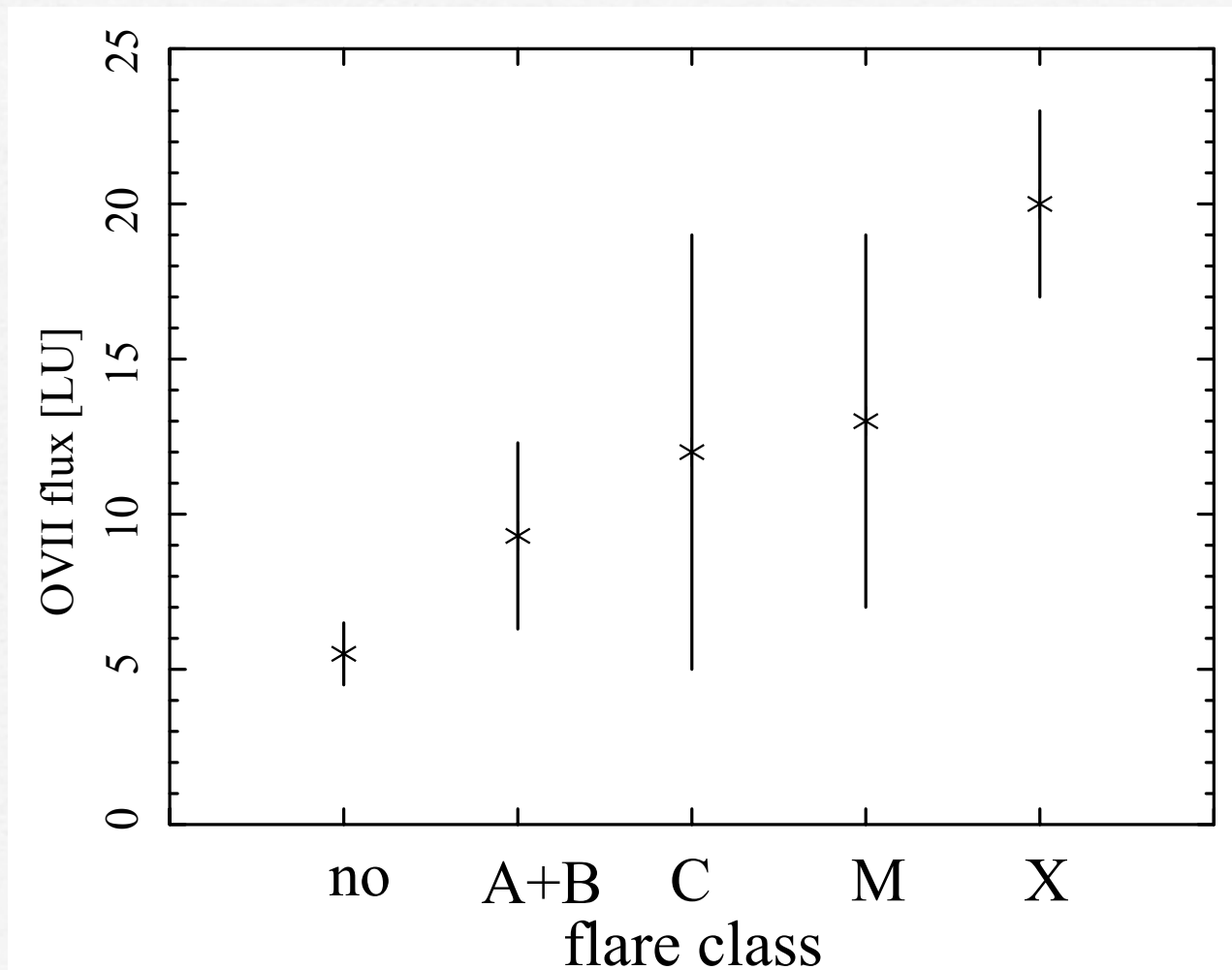
- 観測年ごとの平均  $N_H$  と太陽EUVフラックス(上層大気を加熱)



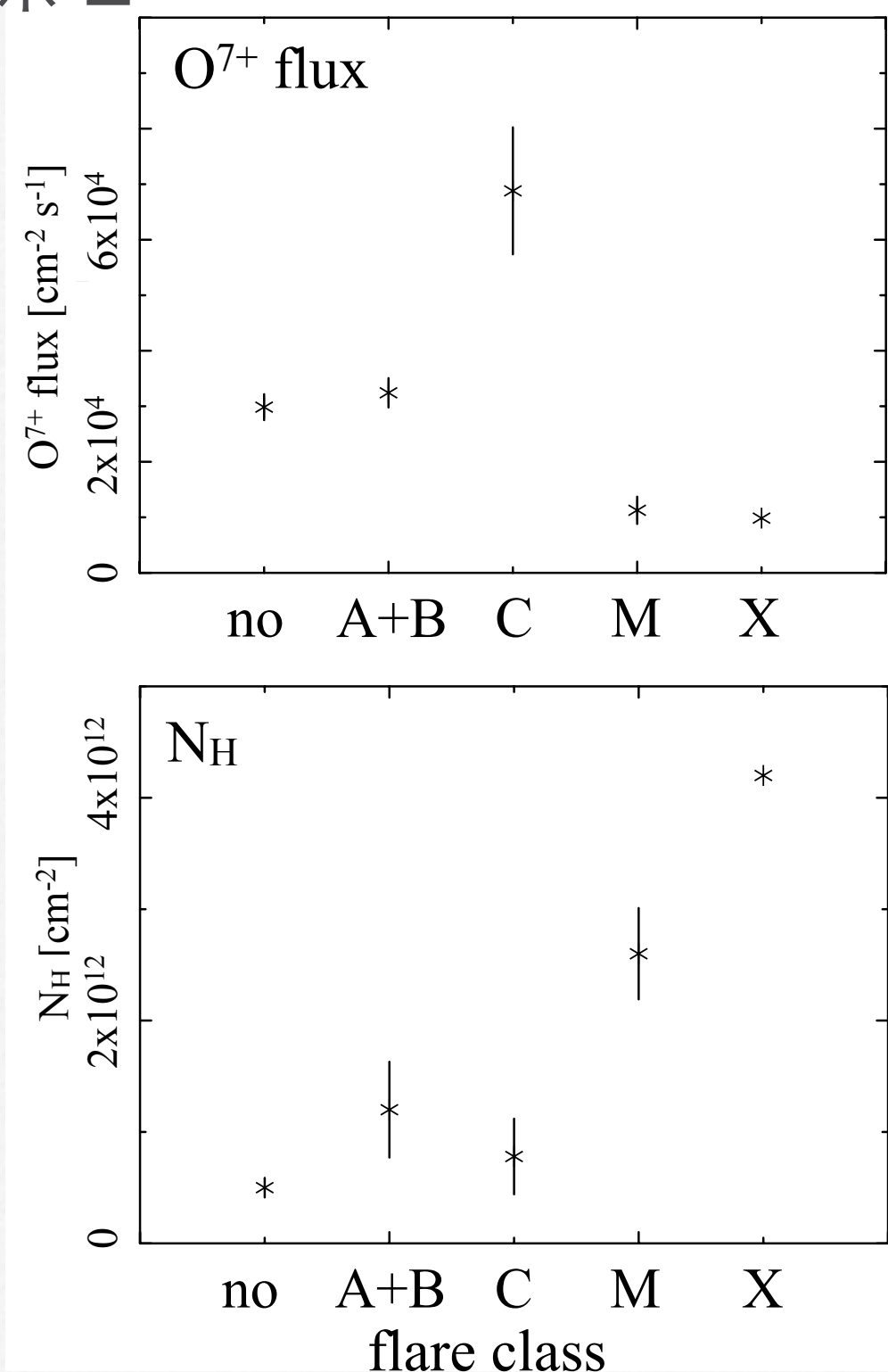
- $N_H$ とEUVフラックスはやや相関あり → EUV による大気加熱の影響か
- SWCX放射の観測：太陽活動にともなう大気の密度変化を反映

## SWCX flux (OVII) と太陽活動の関係 2

- フレア規模ごとの平均値

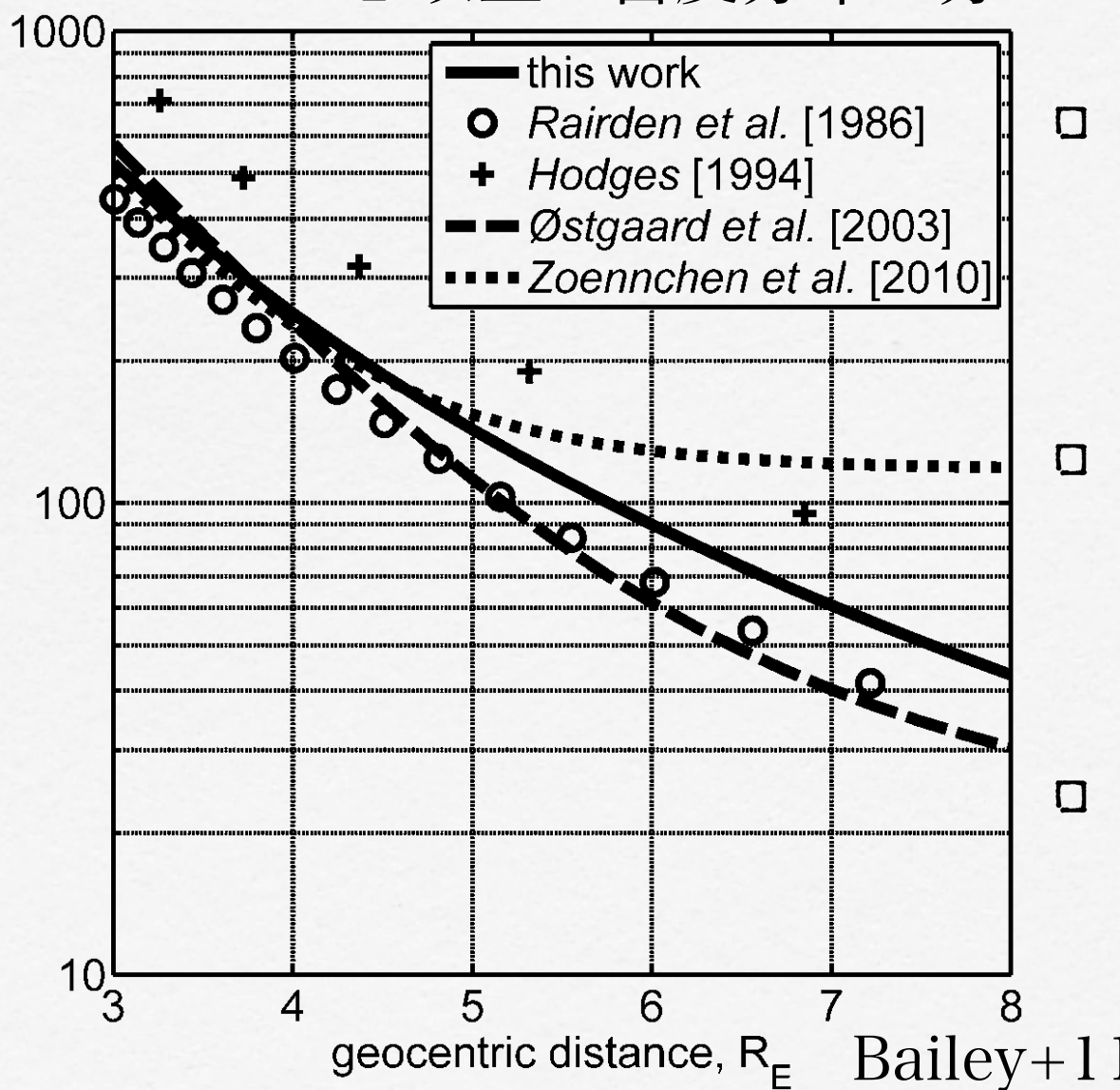


- フレア規模が大きいほど  $N_H$  高い



## $N_H$ と外圏の密度モデル(フレアなし)

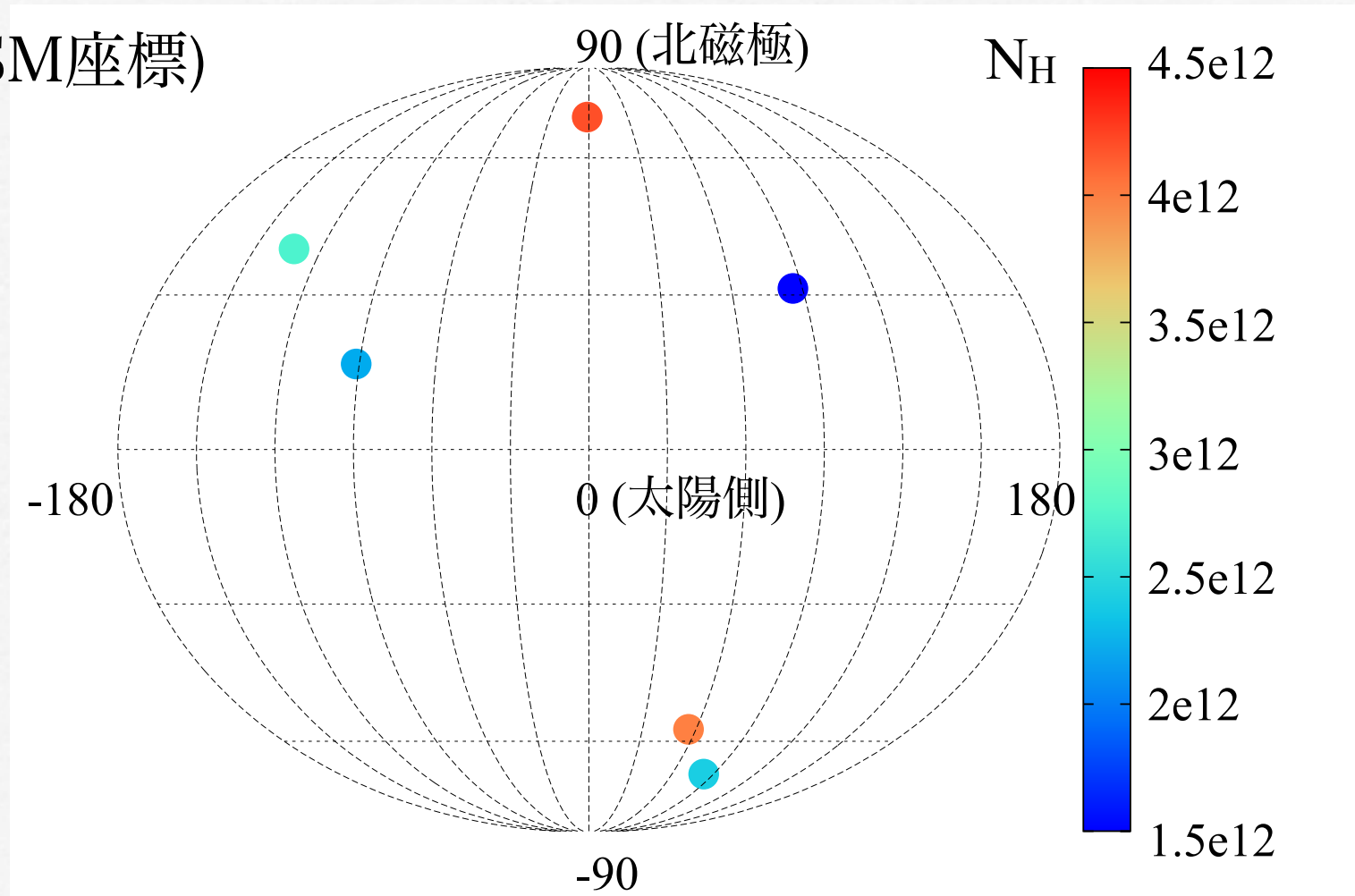
- 外圏密度モデル(シミュレーション、UV観測)
- ~ $5R_E$  以上の密度分布：モデルによってばらつく
- ~ $10R_E$  以上の密度分布：分かっていない



- すぐの結果  
フレアなしの時の平均  $N_H$  :  
 $(5.0 +/- 0.9) \times 10^{11} \text{ cm}^{-2}$
- 密度モデル(Ostgaard+03)の  $N_H$  :  
 $1 \times 10^{11} \text{ cm}^{-2}$  ( $10 \sim 42R_E$  積分)  
→ 観測と合わない
- 数  $10 / \text{cc}$  の密度の大気が ~ $30R_E$  まで  
広がっているかも

## M, X class フレアでの $N_H$

- $N_H$  の分布 (SM座標)



- 平均 $N_H$  :  $(3 +/- 0.4) \times 10^{12} \text{ cm}^{-2}$
- Ostgaard model での $N_H$  ( $1 \times 10^{11} \text{ cm}^{-2}$ ) の30倍 [10~42 $R_E$  積分],  
「すざく」フレアなし $N_H$ の6倍  
→ 大気密度が増加 and/or 磁気圏圧縮

# 本日のお話

1. Introduction

2. 解析手順

3. 結果

4. 考察

5. まとめ

## まとめ

- 「すざく」の全データ(2005年8月~2011年9月)から地球SWCX放射を探した
- 2031データ中、38のデータでSWCX放射を検出
- 全てのデータで emissivity, 輝線フラックス,  $N_H$  を求めた



- 軟X線背景放射：視線方向によるSWCX放射効率の違いは見られない  
→ 地球外圏のSWCX放射はあらゆる方向で影響する
- 地球外圏の分布：太陽活動により変動 +  
既存の外圏密度モデルと不一致, 特に  $>\sim 10R_E$   
→ 超高層大気の様子をリモートで観測 +  
~ $30R_E$ 付近まで濃い外圏大気が広がっている可能性
- 地球磁気圏の可視化：シースのあらゆる方向からSWCX放射検出  
→ SWCX放射の観測で磁気圏の形を捉える

# 将来の展望

輝線エネルギー

輝線強度

輝線の強度比

輝線幅

輝線のドップラーシフト

## 今回の成果

地球外圏大気の分布・組成

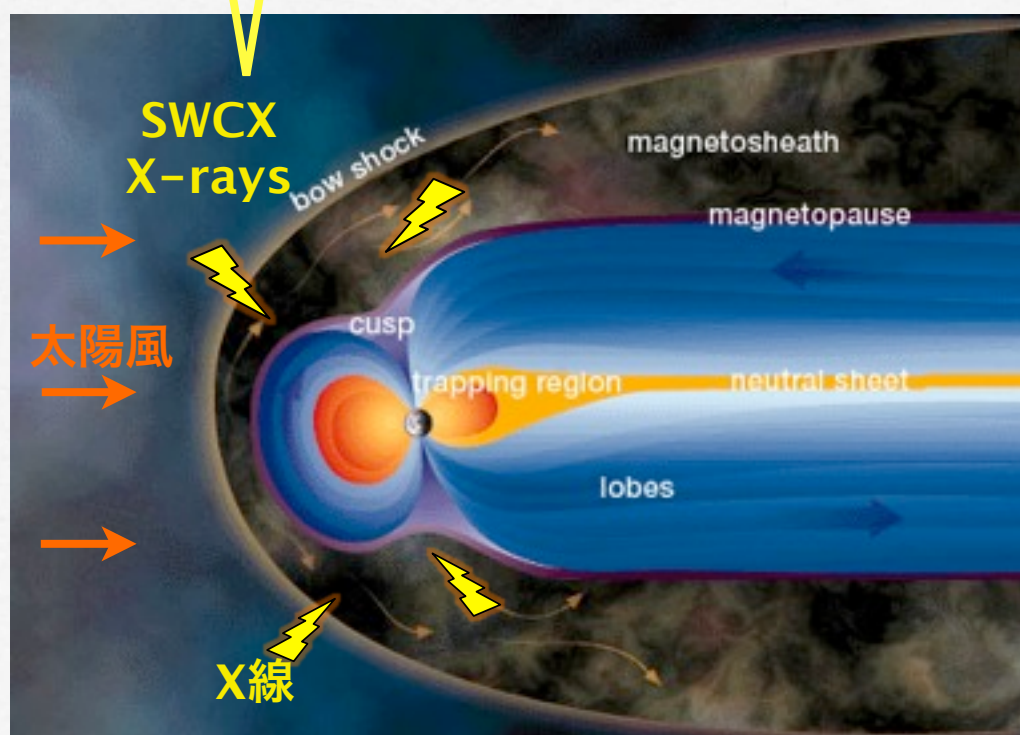
磁気圏の全体像

太陽風イオンの輸送

太陽活動が活発

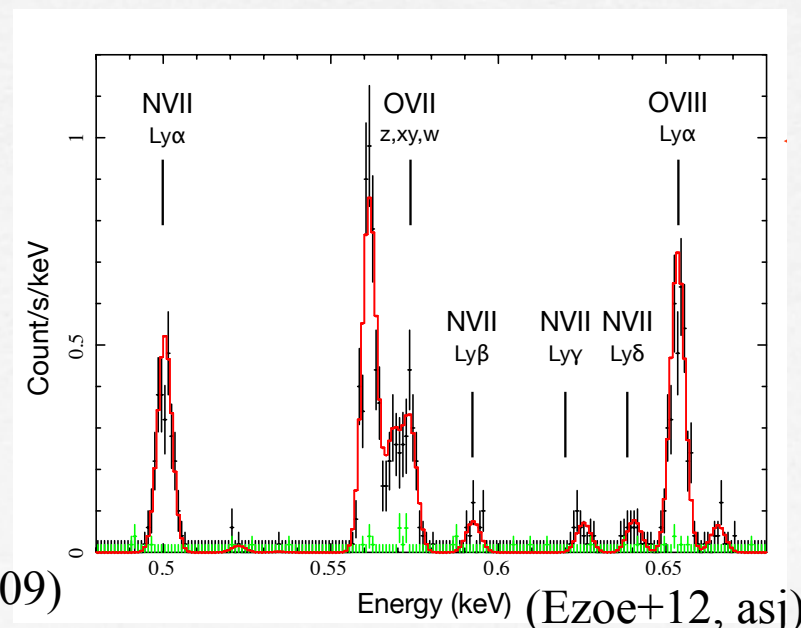
フレア

SWCX放射  
強まるよ



↓より詳細に  
次期X線観測衛星：ASTRO-H衛星  
将来衛星：X線による磁気圏観測ミッション

シミュレーションによる  
SWCX放射のスペクトル例  
SWCX model : Bodewits+07  
soft X-ray background (Yoshino+09)



おしまい